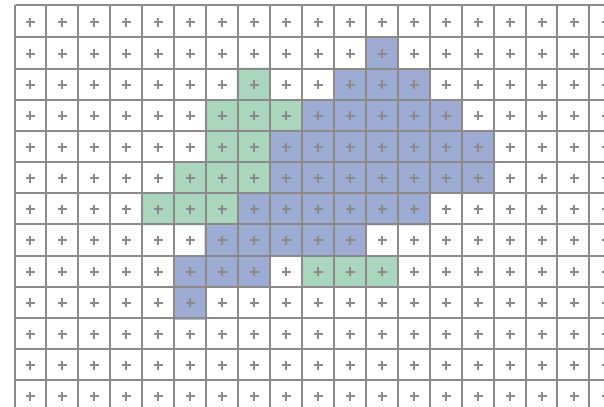




# Computer-Graphik I

## Polygon Scan Conversion



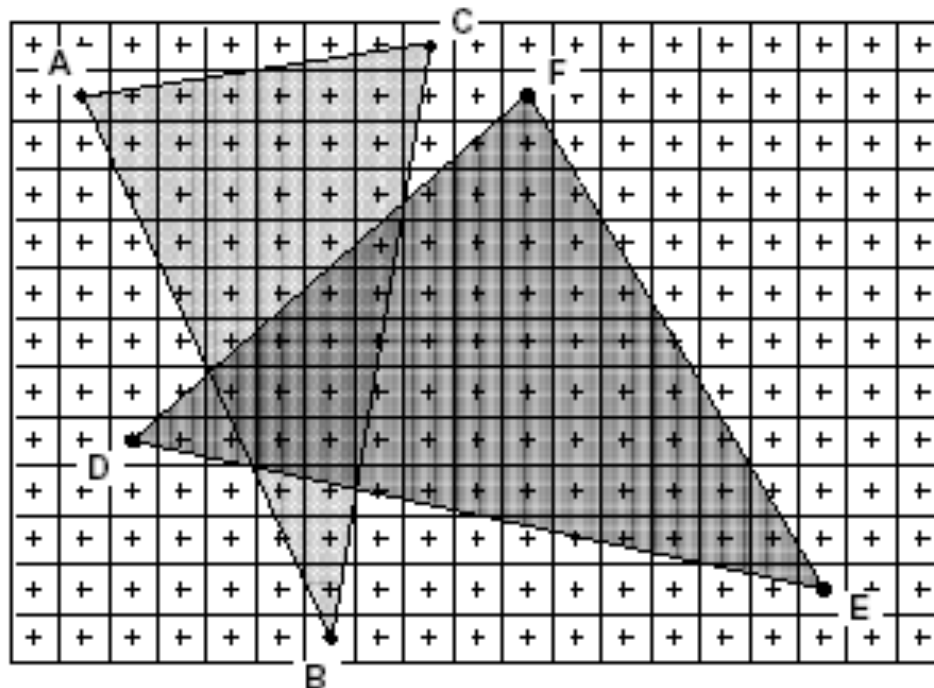
G. Zachmann

University of Bremen, Germany

[cgvr.informatik.uni-bremen.de](http://cgvr.informatik.uni-bremen.de)

# Einordnung in die Pipeline

- Rasterisierung der Objekte in Pixel
- Ecken-Werte interpolieren (Farbe, Tiefenwert, ...)



Modell  
Transformation

Illumination  
(Shading)

Viewing Transformation  
(Perspective / Orthographic)

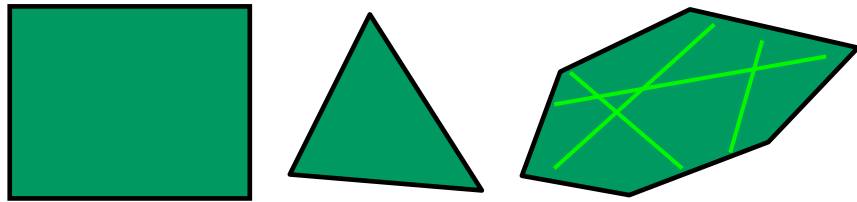
Clipping

Projektion  
(in Screen Space)

Scan Conversion  
(Rasterization)

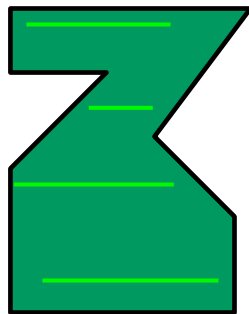
Visibility / Display

## Konvex



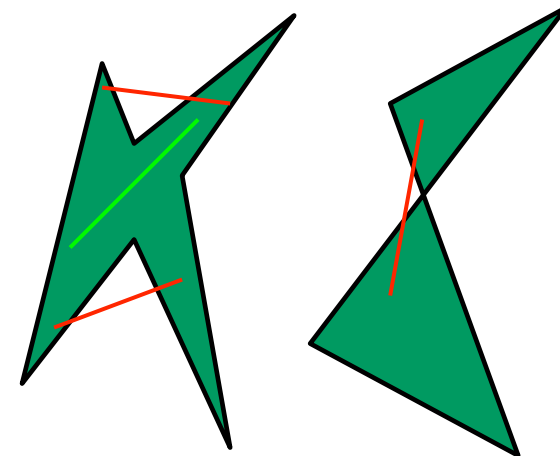
Für jedes Punktepaar in einem konvexen Polygon liegt die Verbindung auch innerhalb des Polygons

## Horizontal Konvex



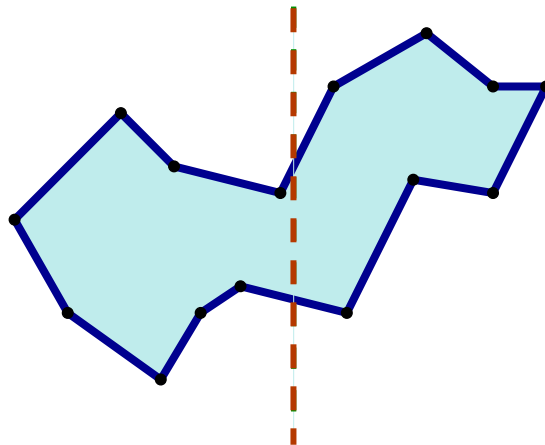
Selbe Definition, gilt hier aber nur für Punkte auf der selben horizontalen Linie

## Konkav

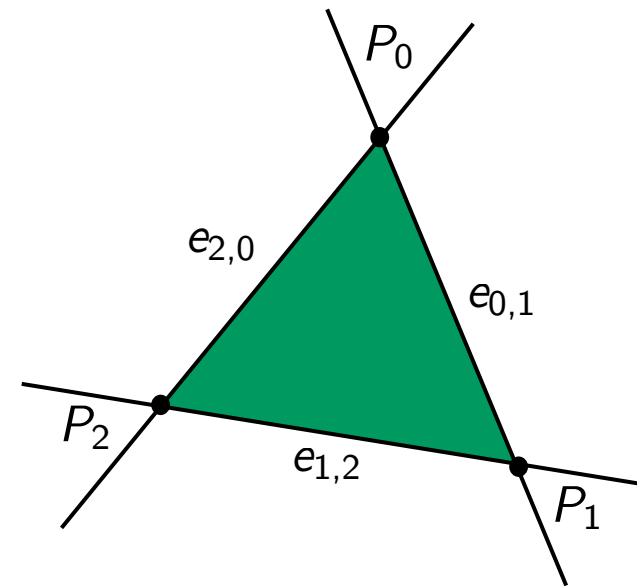


- Monotone Polygone:  
Ein Polygon heißt **monoton bzgl. einer Geraden  $L$** ,  
falls jede Gerade senkrecht zu  $L$  das Polygon in höchstens  
zwei Punkten schneidet.

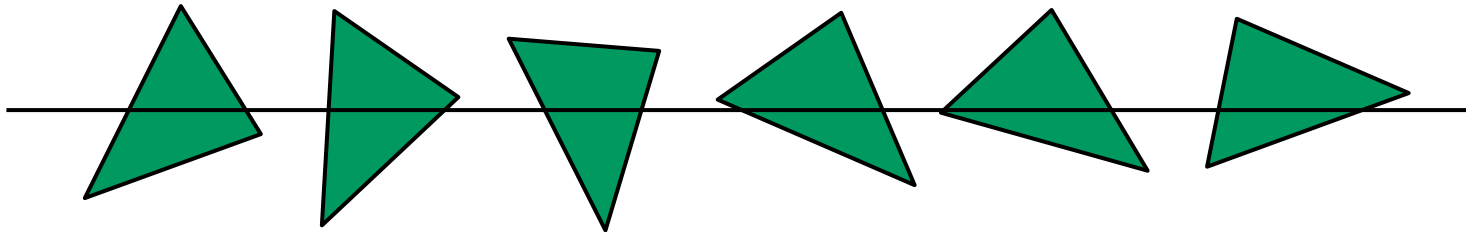
- Beispiel:



- Dreiecke sind besondere Polygone
- 3D Dreiecke sind immer eben
  - 3 Punkte beschreiben eine Ebene
  - Mit weniger als 3 Punkten kann man keine Fläche beschreiben
- Dreieck = 2D–Simplex ("einfachstes" geom. Objekt, das echt 2-dim. ist)
- Somit sind Dreiecke sehr einfach (sowohl mathematisch wie auch geometrisch)



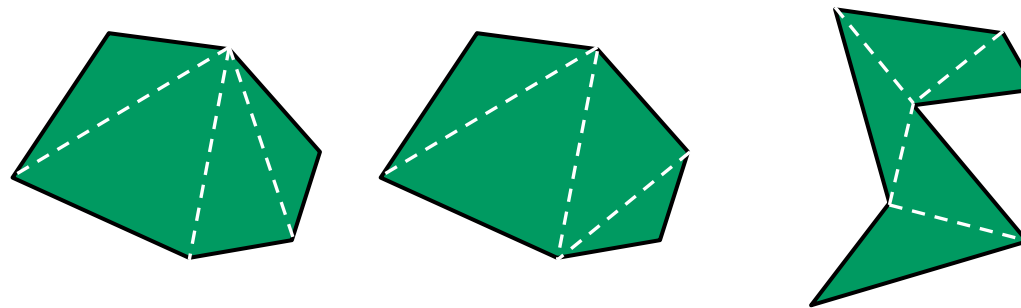
- Dreiecke sind immer konvex → egal wie man ein Dreieck dreht, es gibt nur ein Schnittintervall (= *Span*) für jede Gerade (*Scanline*)



- Der Algorithmus zum Rasterisieren erzielt aus den Eigenschaften von Dreiecken Vorteile
- Deswegen
  - ist die Graphik-Hardware optimiert für Dreiecke;
  - unterteilen viele Graphikkarten konvexe Polygone in Dreiecke.
  - Einige Systeme rendern eine Linie, indem sie 2 schmale Dreiecke rendern

- Definition:

**Triangulierung** eines Polygons = Partitionierung des Polygons ausschließlich durch **innere Diagonalen** und ohne zusätzliche Punkte



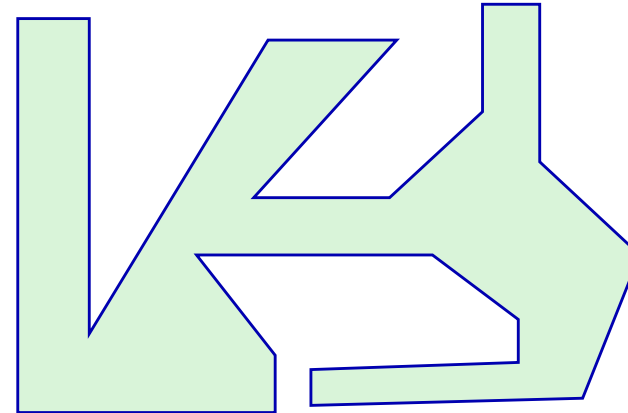
- Satz:

Jedes beliebige Polygon kann trianguliert werden.

- Fragen:

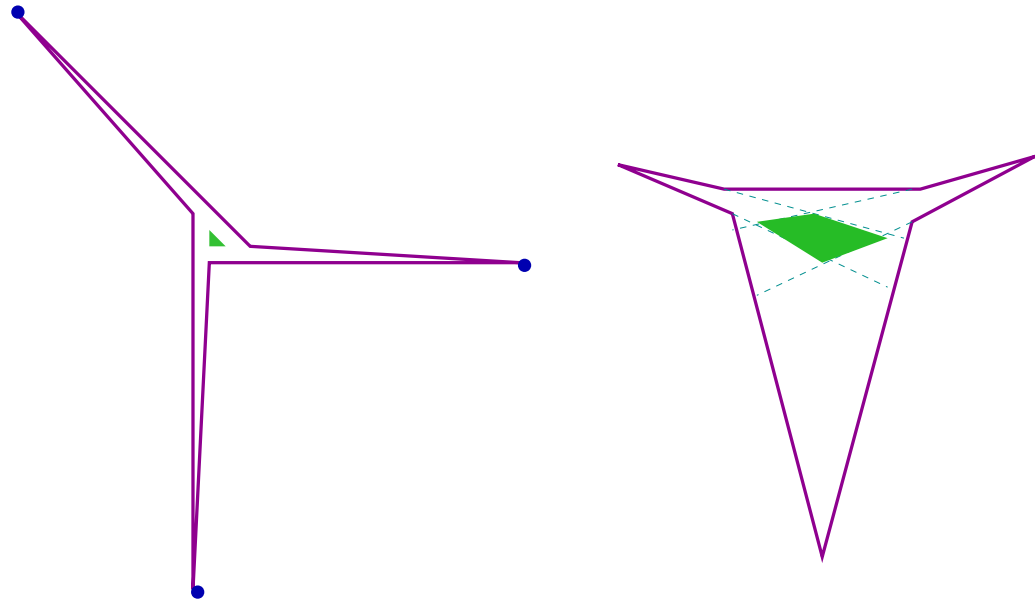
- Hängt die Anzahl Dreiecke von der Wahl der Diagonalen ab?

- Aufgabenstellung:
  - Gegeben ist der Grundriß (*floor plan*) einer Galerie als einfaches Polygon mit  $n$  Eckpunkten
  - Jeder Wächter (*guard*) ist fest an einem Punkt stationiert und kann  $360^\circ$  seiner Umgebung einsehen, aber nicht durch Wände schauen
  - Frage: wieviele Wächter benötigt man?
- Satz (Beweis kommt später):  
 Jede Gallery benötigt höchstens  $n/3$  Guards.
- Geschichte:  
 Victor Klee stellte dieses Problem Václav Chvátal auf eine Mathem.-Konferenz 1973. Dieser fand sofort einen (sehr komplizierten) Beweis, der später mittels Triangulierung sehr vereinfacht wurde.

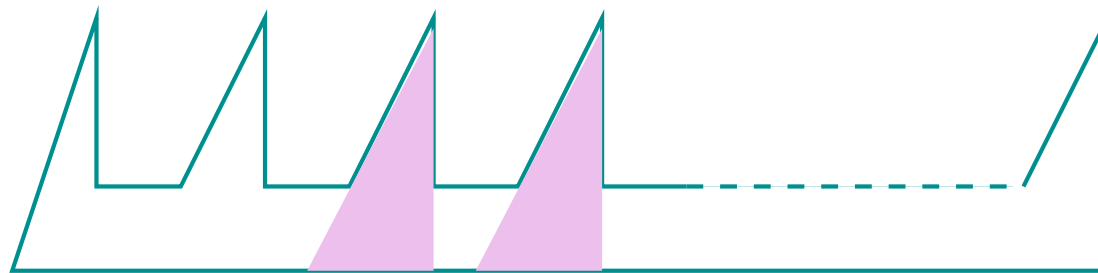




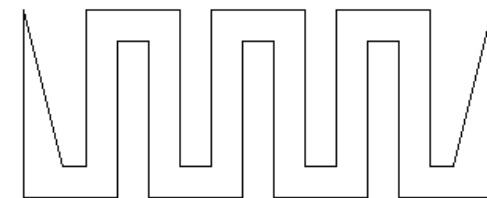
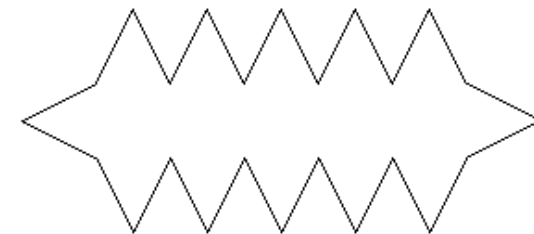
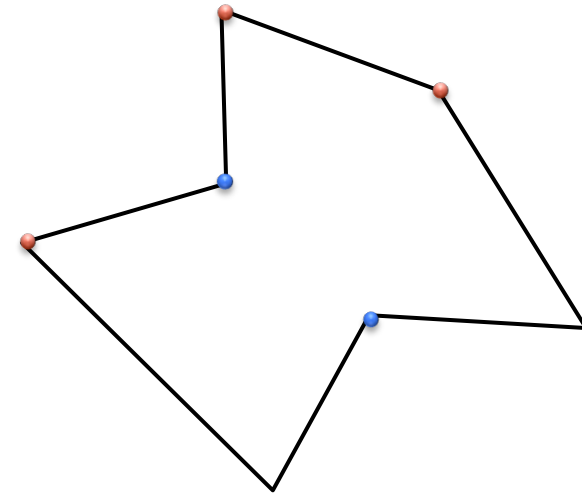
- Satz gibt nur obere Schranke, nicht die optimale Anzahl!
- Pathologische Fälle:



- Obere Schranke wird auch angenommen:

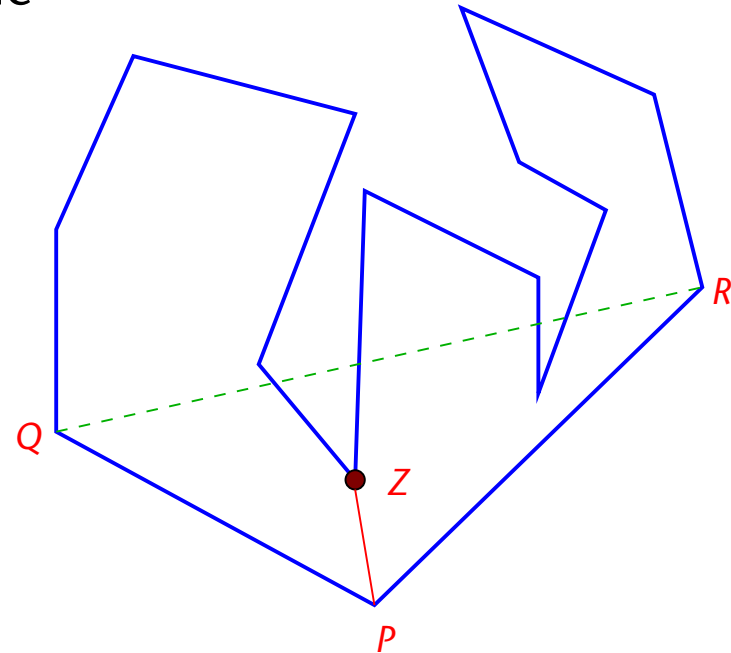


- **Konvexer Vertex** / Eckpunkt:  
Innenwinkel  $< 180^\circ$
- **Reflex-Vertex** = konkaver Vertex:  
Innenwinkel  $> 180^\circ$   
(= **Mund**)
- **Ohr** / Diagonale:  
 $V_{i-1}V_iV_{i+1}$  heißt **Ohr**  $\Leftrightarrow$  Strecke  $\overline{V_{i-1}V_{i+1}}$   
ist komplett innerhalb des Polygons;  
in diesem Fall heißt  $\overline{V_{i-1}V_{i+1}}$  **Diagonale**.
- **Satz (Zwei-Ohren-Satz):**  
Jedes Polygon (außer Dreiecken)  
hat (mindestens) 2 Ohren.

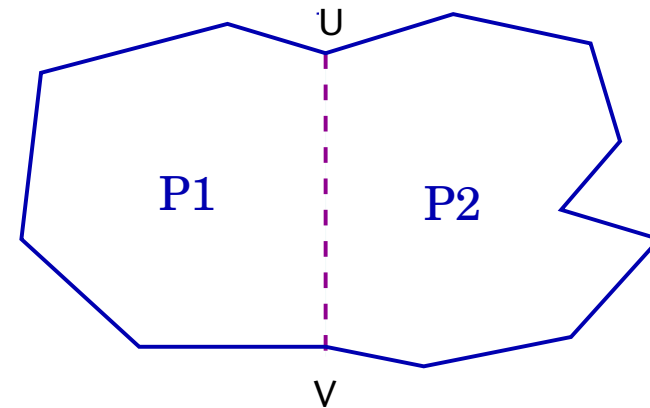


## Beweis des Satzes (Jedes Pgon kann trianguliert werden)

- Vereinfachung: nur einfache Polygone
- Beweis durch Induktion
  - Basisfall = Dreieck
- Induktionsschritt:
  - Wähle konvexe Ecke  $P$ ;  
seien  $Q$  &  $R$  Vorgänger bzw.  
Nachfolger von  $P$
  - Falls  $QR$  innere Diagonale des Polygon:  
→ füge diese hinzu; fertig
  - Andernfalls:
    - Sei  $Z$  derjenige Reflex-Vertex (konkave Vertex), der am weitesten von  $QR$   
entfernt und gleichzeitig innerhalb  $\Delta PQR$
    - Füge Diagonale  $PZ$  zur Traingulierung hinzu
    - Trianguliere "linkes" und "rechtes" Teilpolygon

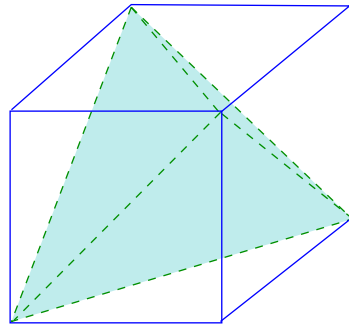


- Satz:
  - Jede Triangulierung eines  $n$ -gons hat  $n-2$  Dreiecke.
- Bezeichne mit  $t(P)$  = Anzahl Dreiecke in irgendeiner Triangulation des Polygons  $P$
- Beweis: mittels Induktion
- Basisfall: einzelnes Dreieck,  $t(P) = 1 = 3-2$
- Induktionsschritt:
  - Wähle eine Diagonale  $UV$  in der gegebenen Triangulation
  - Diese zerlegt  $P$  in  $P_1$  und  $P_2$
  - $t(P) = t(P_1) + t(P_2) = n_1 - 2 + n_2 - 2$
  - Da  $n_1 + n_2 = n + 2 \Rightarrow t(P) = n - 2$

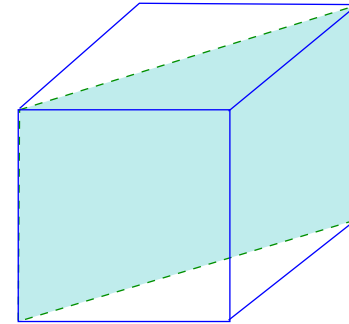


# Zum Vergleich: Triangulation (= "Tetraedrisierung") in 3D

- Verschiedene Triangulierung → verschiedene Anzahl Tetraeder:

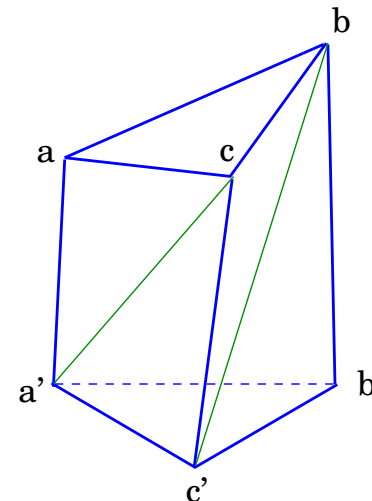
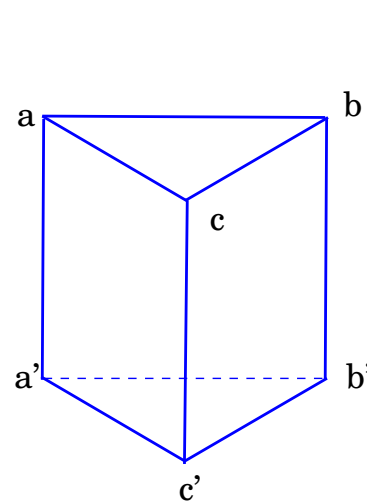


5 Tetraeder



6 Tetraeder

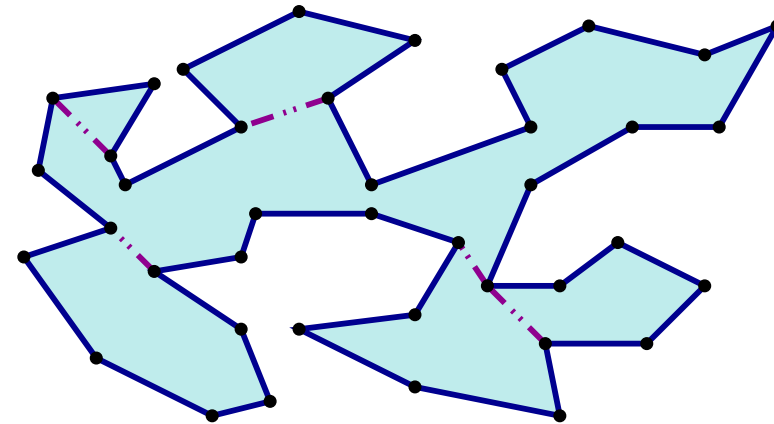
- Ein untriangulierbares ("un-tetraedrisierbar") Polyeder:



- Einfacher Algorithmus (*ear clipping*):
  - Finde ein Ohr in  $O(n)$  Zeit
  - Schneide dieses ab und wiederhole
  - Laufzeit:  $O(n^2)$
- Erst 1991 fand Chazelle einen  $O(n)$ -Algo
  - Dieser ist aber so kompliziert, dass er völlig unpraktikabel ist ;-)
  
- Im Folgenden: ein einfacher  $O(n \log n)$  - Algorithmus

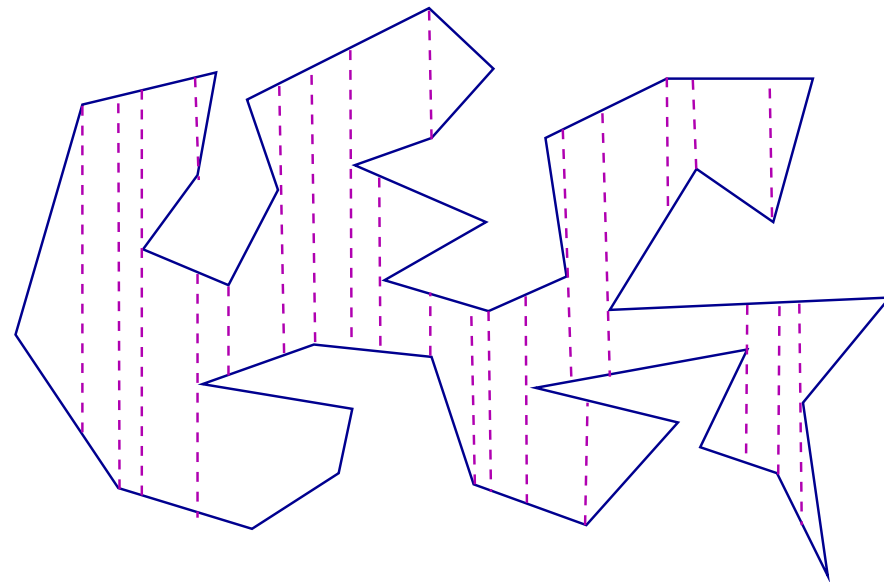
# Überblick des einfachen Algorithmus'

1. Polygon in Trapezoide zerlegen
2. Trapezoide zu x-monotonen Polygonen zusammenfassen
3. Die x-monotonen Polygone triangulieren



X-monotone Zerlegung

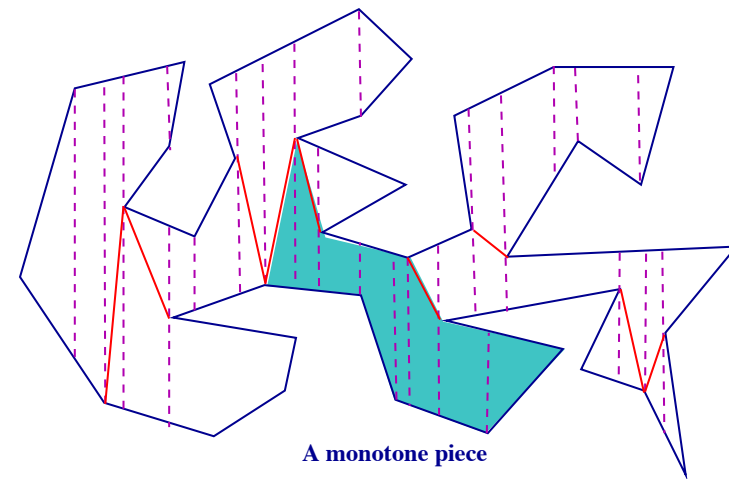
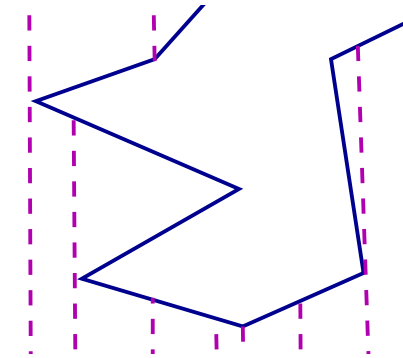
- Idee: verwende die Algorithmentechnik **Line-Sweep**
- Bei jedem Vertex: verlängere Linie nach oben / unten, bis eine Kante getroffen wird
- Jede Fläche dieser Zerlegung ist ein Trapezoid (das zu einem Dreieck degeneriert sein kann)
- Details: ...
  - Benötigt Segment-Tree / Intervall-Tree (s. VL "Geometrische Datenstrukturen")
- Laufzeit:  
 $O(n \log n)$





## Zerlegung in x-monotone Polygone

- Bezeichnung:  
Ein Reflex-Vertex heie **linker / rechter Reflex-Vertex**, falls die beiden inzidenten Kanten nach **rechts / links** zeigen.
- Beobachtung:  
Nicht-Monotonizitt kommt genau von linken oder rechten Reflex-Ecken (nicht von anderen Reflex-Ecken)
- Idee (o. Bew.):  
Fge zu jedem **linken / rechten** Reflex-Vertex eine Diagonale zu der *Polygon-Ecke* seines **linken / rechten** Trapezoids ein



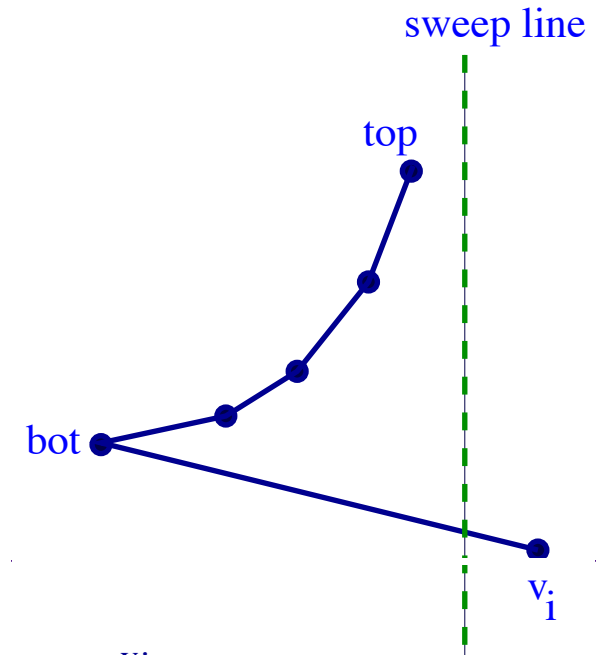
- Behauptung (o. Bew.):  
Mit der "richtigen" Datenstruktur (sog. **DCEL**, in CG2) kann man den zugehörigen Vertex zu solch einer Diagonalen in  $O(1)$  finden.
- Behauptung 2:  
Eine explizite Konstruktion der Trapezoide ist gar nicht nötig; man kann die Zerlegung in monotone Polygone direkt beim Line-Sweep machen.

- Beobachtung: in einem x-monotonen Polygon gibt es eine "obere" und eine "untere" Vertex-Kette

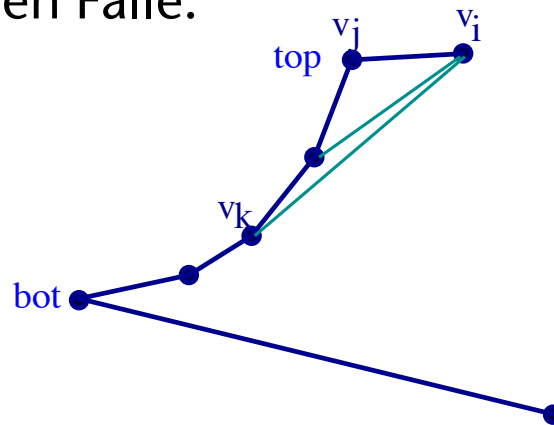
```
Sortiere alle Vertices  $v_1, v_2, \dots, v_n$  von links nach rechts
Pushe  $v_1, v_2$  auf den Stack
For  $i = 3 \dots n$ :
    # z.Z. sind Vertices  $v_q$  (bot), ...,  $v_j$  (top) auf dem Stack
    Fall 1:  $v_i$  und  $\text{top}(\text{stack})$  sind in derselben Kette
        Füge Diagonalen  $v_i v_j, \dots, v_i v_k$  ein, wobei  $v_k$  der letzte
            zulässige Vertex ist; evtl. auch keine Diagonale
        Falls Diagonalen möglich waren:
            Pop  $v_j, \dots, v_{k-1}$ 
            Push  $v_i$ 
    Fall 2:  $v_i$  ist auf der anderen Kette als  $\text{top}(\text{stack})$ 
        Füge alle Diagonalen  $v_i v_j, \dots, v_i v_q$  ein
        Merke  $v_j$ , lösche Stack
        Push  $v_j$  und  $v_i$            # Neustart für nächste Reflex-Kette
```

# Korrektheitsbetrachtungen (und Verständnis)

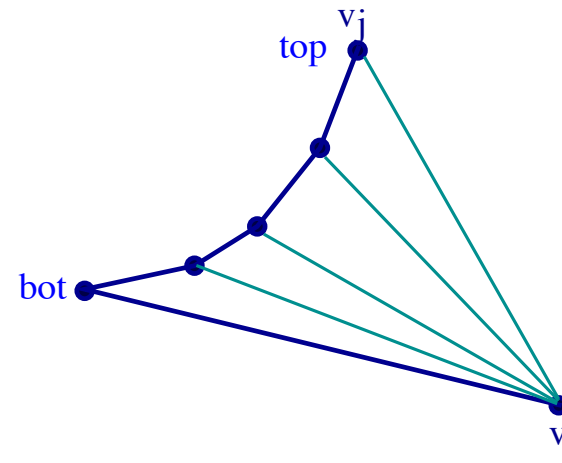
- Schleifen-Invarianten:
  - Alle Vertices auf dem Stack bilden eine Kette von Reflex-Vertices (**Reflex-Kette**) (keine linken oder rechten Reflex-Vertices!)
  - Der nächste Vertex in der "anderen" Kette liegt rechts von der aktuellen Sweep-Line
  - Das "Rest-Polygon" ist wieder einfach (und monoton)



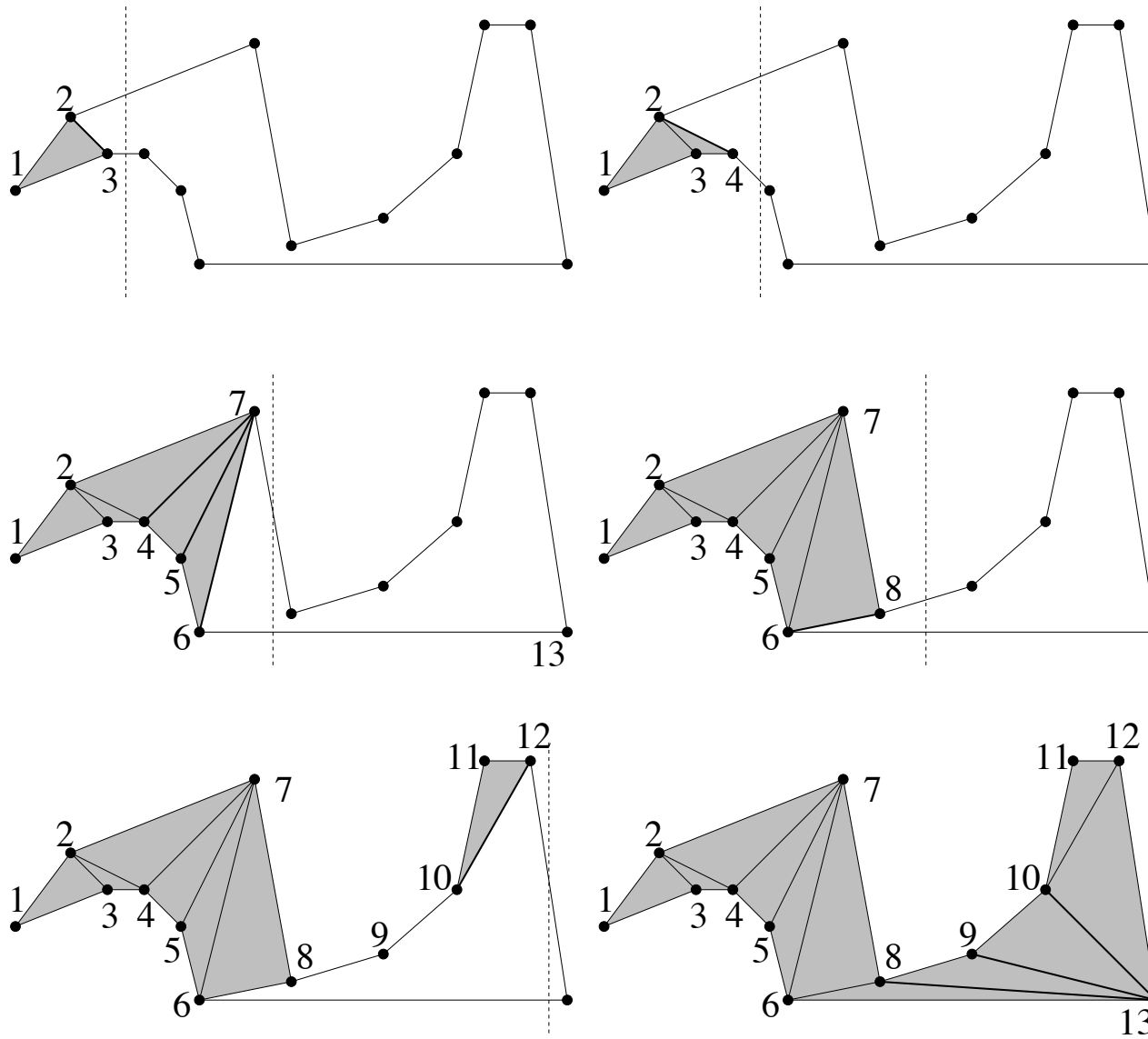
- Die beiden Fälle:



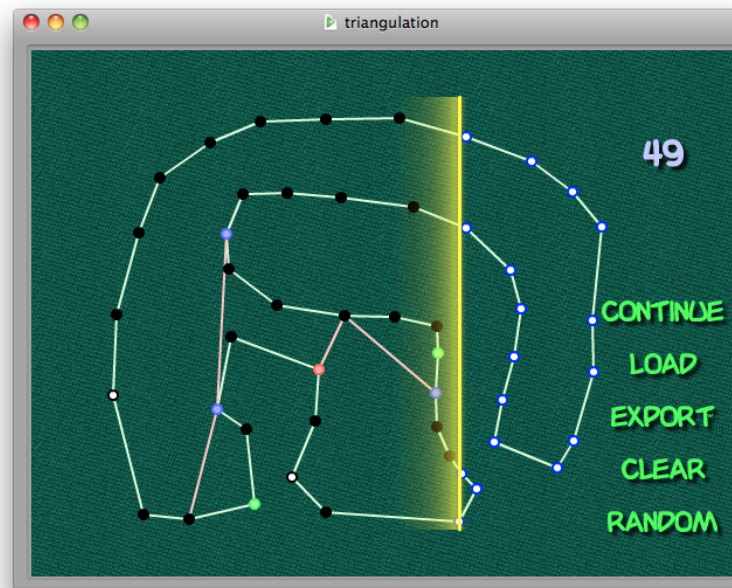
New stack: (bot, ..., v<sub>k</sub>, v<sub>i</sub>)



New stack: (v<sub>j</sub>, v<sub>i</sub>)



- Laufzeit für Schritt 3 (Triangulierung eines monotonen Pgons)  
=  $O(n)$
- Gesamtlaufzeit:  $O(n \log n)$
- Demo:

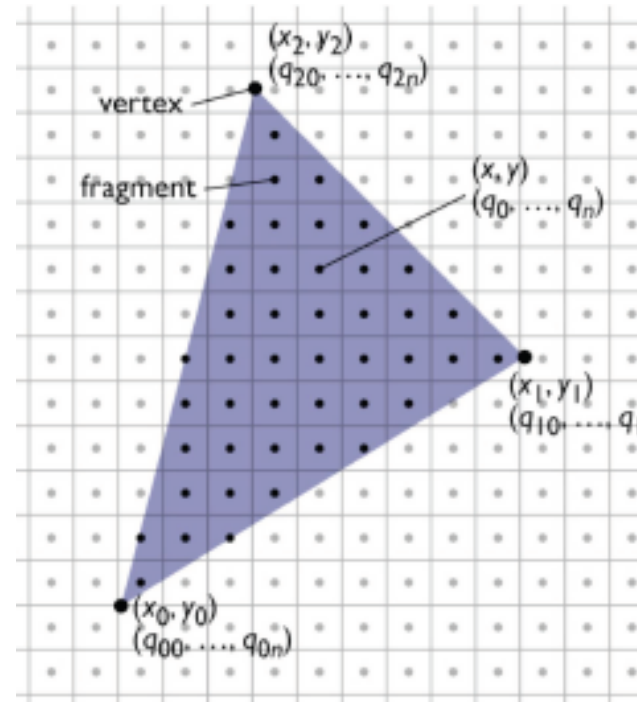


<http://computacion.cs.cinvestav.mx/~anzures/geom/triangulation.php>

# Auflösung: Beweis für *Art Gallery Theorem*

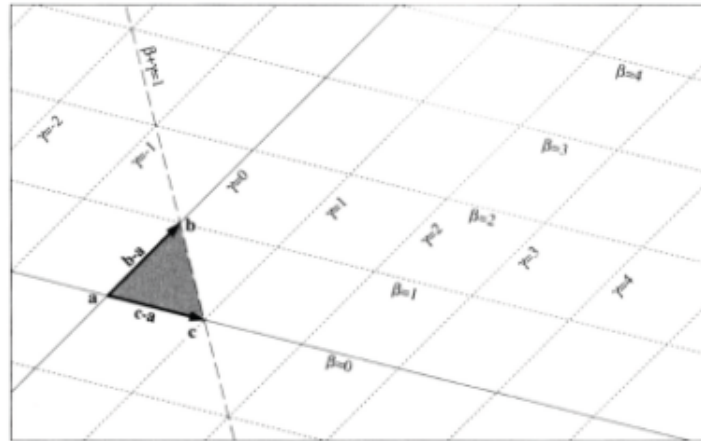
- Mit Triangulations-Satz ganz einfach ...

- Eingabe:
  - Drei 2D Punkte (Eckpunkte im Framebuffer / "Pixel-Raum"):  
 $(x_0, y_0); (x_1, y_1); (x_2, y_2)$
  - Mit Attributen  $q$  für jeden Eckpunkt, z.B. Farbe
- Ausgabe:
  - Ganzzahlige Pixel-Koordinaten  $(x, y)$
  - Interpolierte Parameterwerte  $q_{xy}$



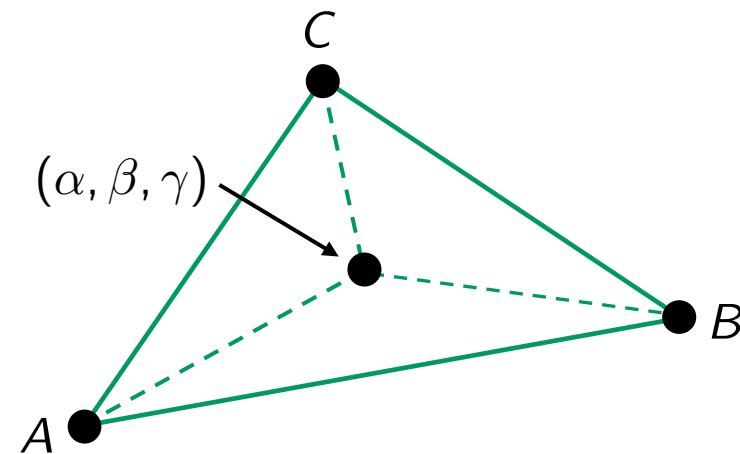


- Baryzentrische Koordinaten:



- Test ob Punkt im Dreieck liegt:

$$\alpha > 0 \wedge \beta > 0 \wedge \gamma > 0$$

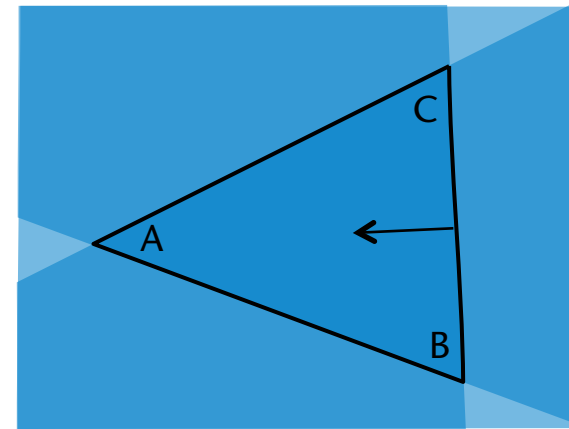
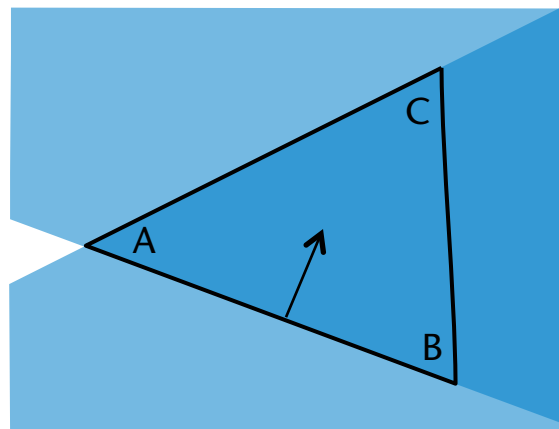
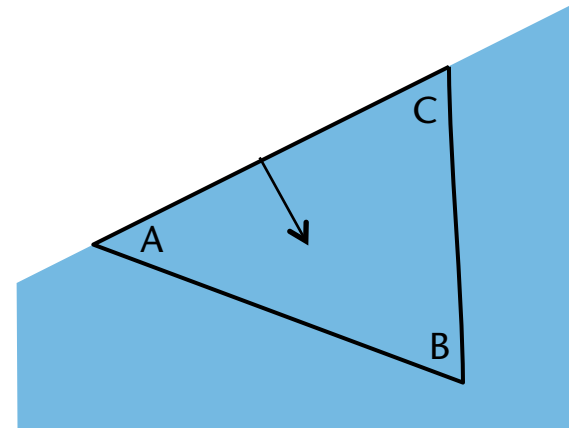


- In der Ebene ist ein Dreieck die Schnittmenge von 3 Halbebenen:

$$(X - C) \cdot (A - C)^\perp > 0$$

$$(X - A) \cdot (B - A)^\perp > 0$$

$$(X - B) \cdot (C - B)^\perp > 0$$



# Lineare Interpolation von Farben im Dreieck

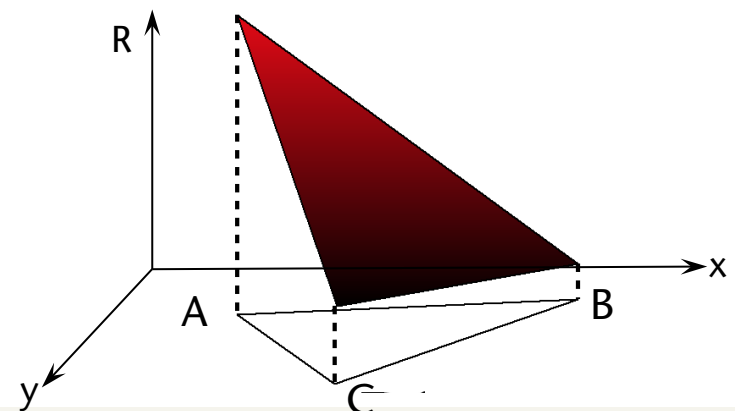
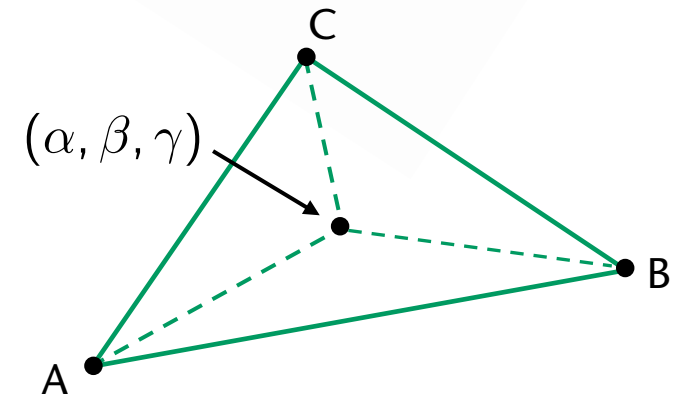
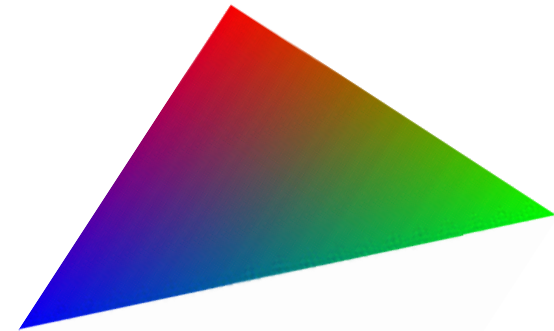
- Idee: benutze die baryzentrischen Koordinaten auch zur Interpolation
- Interpoliere die 3 Farbkanäle (z.B. RGB) unabhängig voneinander
- Am Beispiel des Rot-Kanals R:

- Wenn

$$X = \alpha A + \beta B + \gamma C$$

- Setze

$$R(X) = \alpha R(A) + \beta R(B) + \gamma R(C)$$



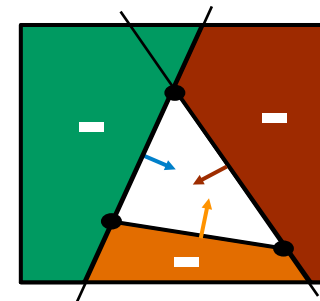
■ Idee:

- Berechne baryzentrische Koordinate für alle Pixel(-mittelpunkte)

$$\alpha = F_{BC}(x) = \frac{\mathbf{n}_c \cdot (X - B)}{\mathbf{n}_c \cdot (C - B)}, \quad \beta = \dots$$

- Zeichne Pixel, falls innerhalb des Dreiecks
- Setze interpolierte Farbe für Pixel:

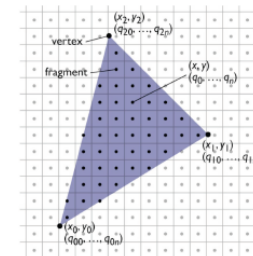
$$C = \alpha C_A + \beta C_B + \gamma C_C$$



■ Algo:

```

for y = ymin ... ymax:
  for x = xmin ... xmax:
    berechne α, β, γ
    if α > 0 and β > 0 and γ > 0:
      c = αcA + βcB + γcC
      zeichne Pixel (x,y) mit Farbe c
  
```



wobei  $x_{min}, x_{max}, y_{min}, y_{max}$  = Bounding-Box von A, B, C

- Beobachtung:  $\alpha$  ist eine **lineare** (eigtl. affine) Funktion in der Ebene, m.a.W.,  $\alpha$  hat die Form

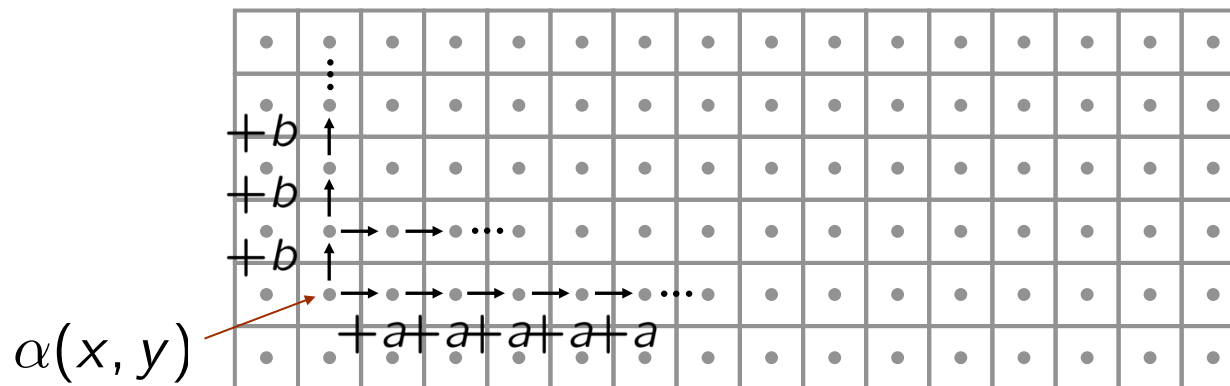
$$\alpha = ax + by + c$$

Dito für  $\beta, \gamma$

- Lineare Funktionen können sehr effizient **inkrementell** auf einem Gitter ausgewertet werden:

$$\alpha(x + 1, y) = \alpha(x, y) + a$$

$$\alpha(x, y + 1) = \alpha(x, y) + b$$

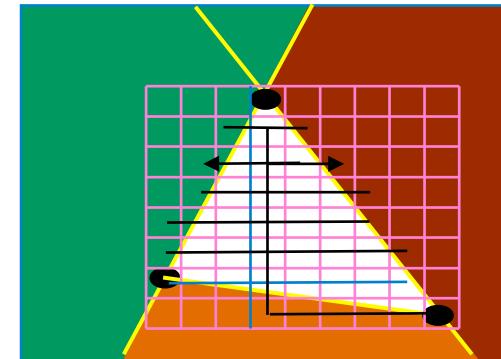
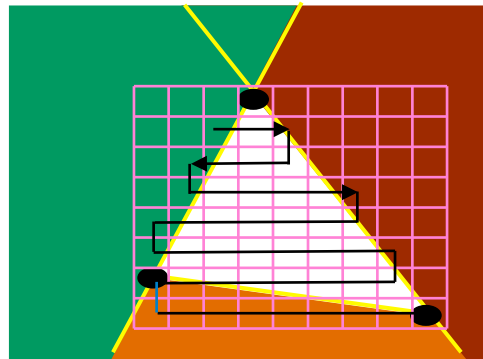
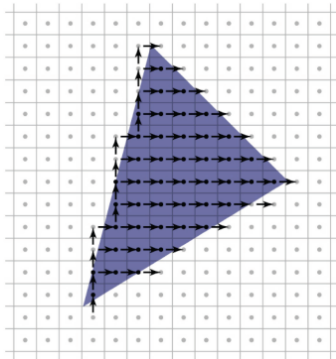
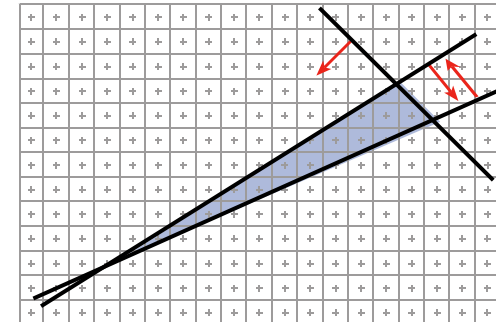


```
linEval(xl, xh, yl, yh, cx, cy, ck):  
  
# setup  
compute a, b, c ...  
qRow = a*xl + b*yl + c  
  
# traversal  
for y = Ymin ... Ymax:  
    qPix = qRow  
    for x = Xmin ... Xmax:  
        draw(x, y, qPix)  
        qPix += a  
    qRow += b
```



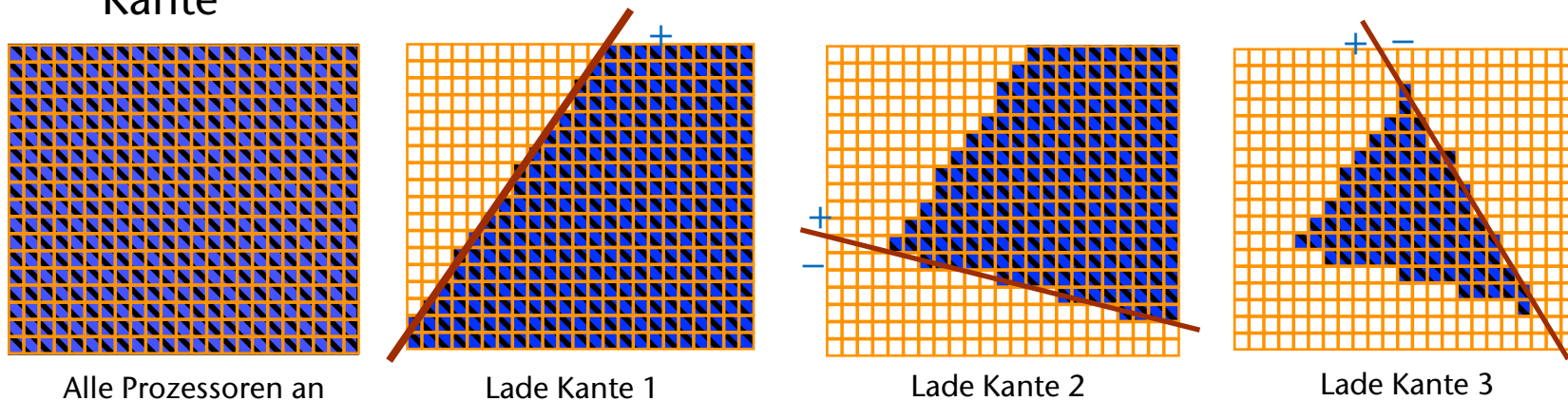
$a = .005; b = .005 c = 0$   
(Bildgröße 100x100)

- Problem: wenn das Dreieck lang und schmal ist, dann werden viele unnötige Berechnungen durchgeführt
- Erinnerung: Dreieck ist konvex
  - Folge: wenn man in der x-Schleife einmal ein Pixel außerhalb erreicht, dann sind alle folgenden in dieser Scanline auch außerhalb



- Weiterer Vorteil des Algorithmus von Pineda: lässt sich relativ leicht parallelisieren

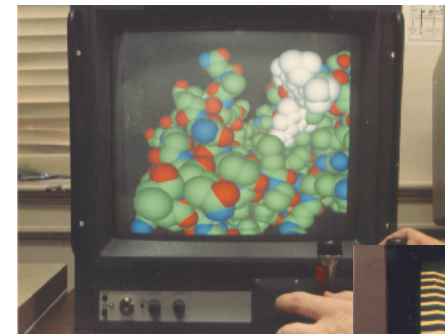
- Eine Geschichte mit "sad end" ...
- Die Idee:
  - Die Berechnung pro Pixel ist extrem einfach, nämlich Auswertung einer linearen Funktion  $Ax + By + C$
  - Also: baue Framebuffer, in dem jedes Pixel ein einfacher Prozessor ist, der solch eine Gleichung für "seine" Koordinaten auswerten kann! ("processor per pixel")
  - Betrachte die 3 Kanten der Reihe nach
  - Lade alle Prozessoren gleichzeitig mit den Koeff. A,B,C der aktuellen Kante





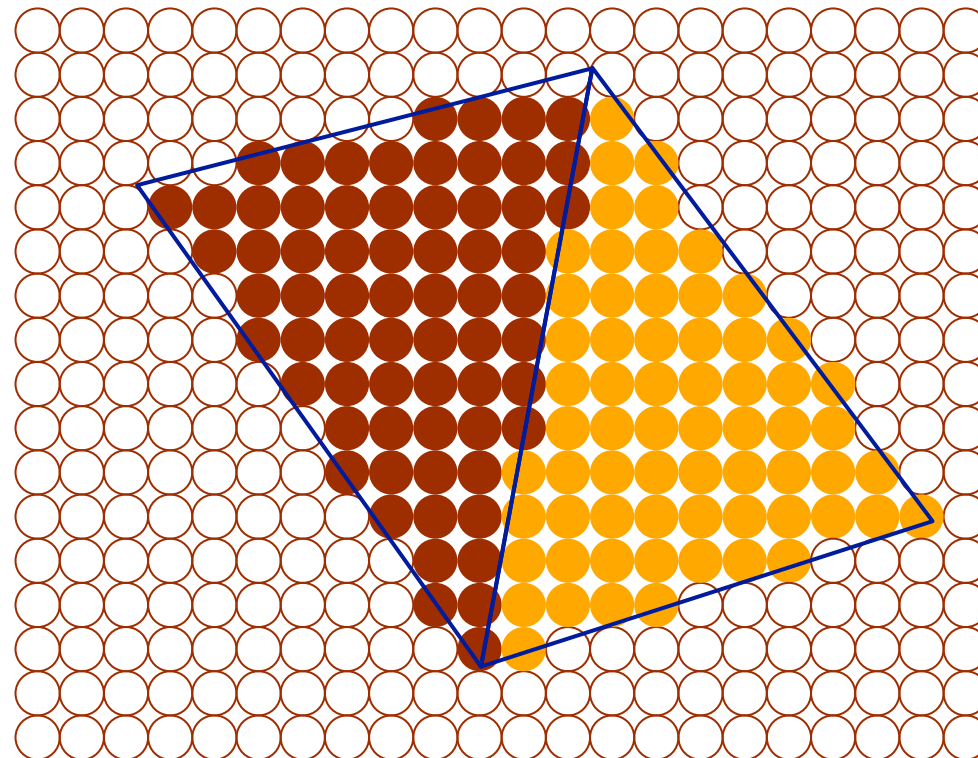
## Pixel-Planes 4 (1986)

- Features:
  - Full-size (512 x 512 pixel) prototype
  - Used 2048 enhanced memory ICs
  - 1 Geometry Processor
  - 72 bits per pixel
- Performance:
  - 35K triangles/sec
  - Kugeln als Primitive
  - CSG
  - Schatten
- "Lessons Learned":
  - Dreiecke sind klein, daher viele Proc idle
  - Für noch mehr Performance braucht man auch auf dem Geometrie-Level Parallelisierung

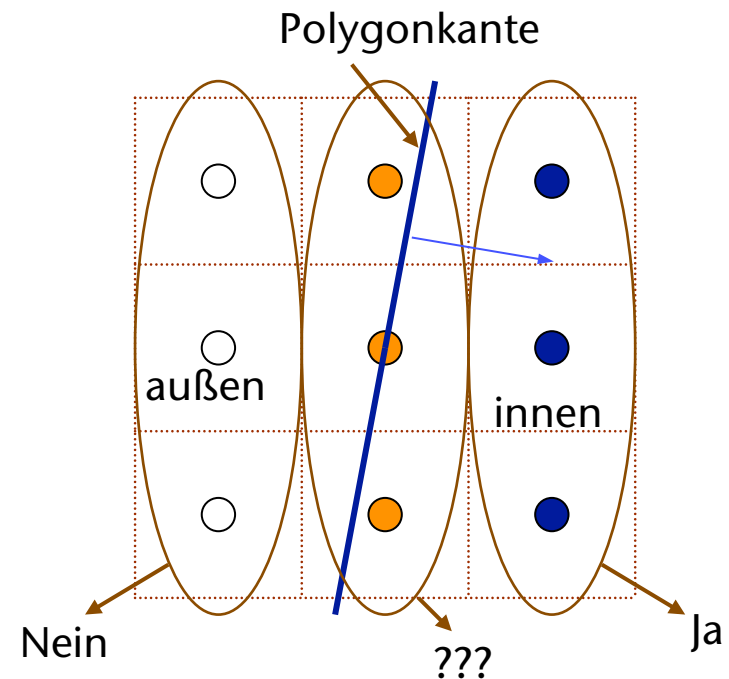


# Vorsicht bei angrenzenden Polygonen

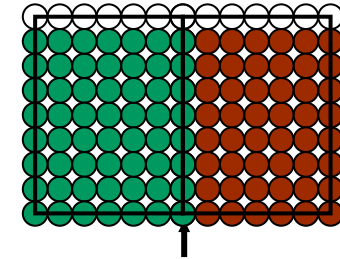
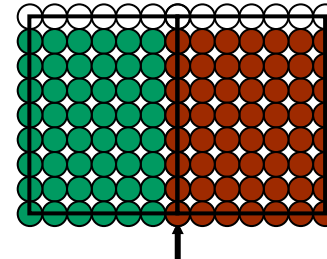
- Behandle angrenzende Polygone korrekt!
  - Vermeide Risse
  - Vermeide Überschneidungen
  - Unabhängig von der Zeichenreihenfolge



- Pixel vollständig im Polygon → wird gezeichnet
- Pixel zum Teil im Polygon → ... ?
- Vereinbarung (für den Moment): zeichne nur die Pixel, deren **Zentren** im **Inneren** des Polygons liegen
- Problem, falls Zentrum des Pixels genau auf der Ecke des Polygons liegt :
  - Nicht zeichnen → Loch
  - Zeichnen → wird möglicherweise 2x gezeichnet (ergibt sog. "z flickering" u.a. Artefakte )



- Problem beim 2x Zeichnen:
  - Das zuletzt gezeichnete Polygon "gewinnt"

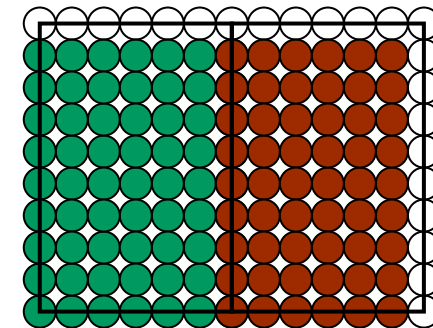


- Mögliche Lösung (gibt noch andere):
  - Ein Begrenzungspixel (dessen Zentrum "genau" auf der Kante liegt) gehört **nicht** zu einem Primitiv, wenn das Primitiv links bzw. unterhalb des durch die Kante aufgespannte Halbraumes liegt (erkennt man an der Normale)
  - Verfahrre bei konvexen Polygonen genau wie bei Rechtecken

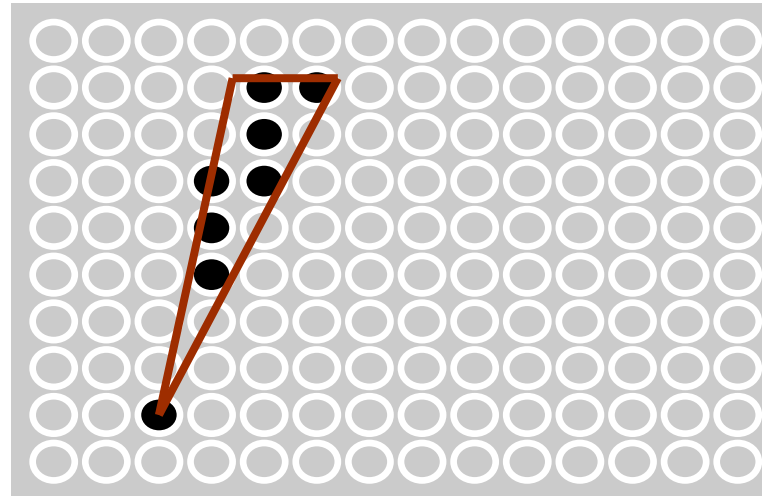
Rot zuletzt

Grün zuletzt

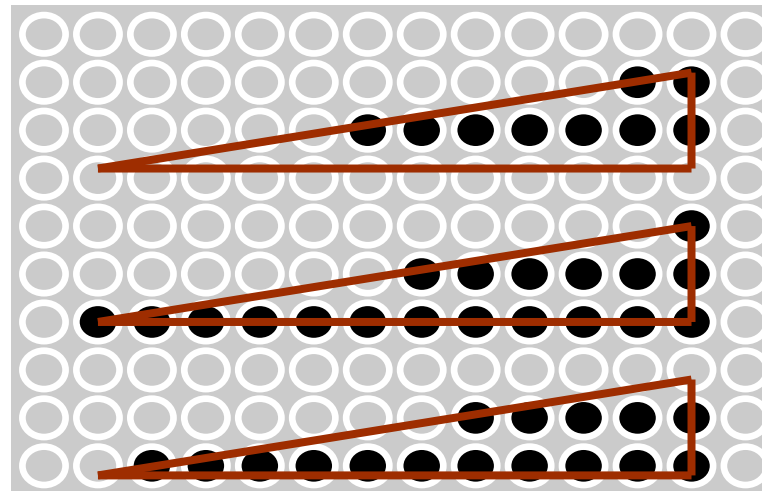
- Folgerungen für Rechtecke:
  - Spans lassen das rechteste Pixel weg (falls direkt auf Kante)
  - Bei jedem Polygon fehlt oberster Span (falls direkt auf Kante)



- Sogenannte "*Slivers*":

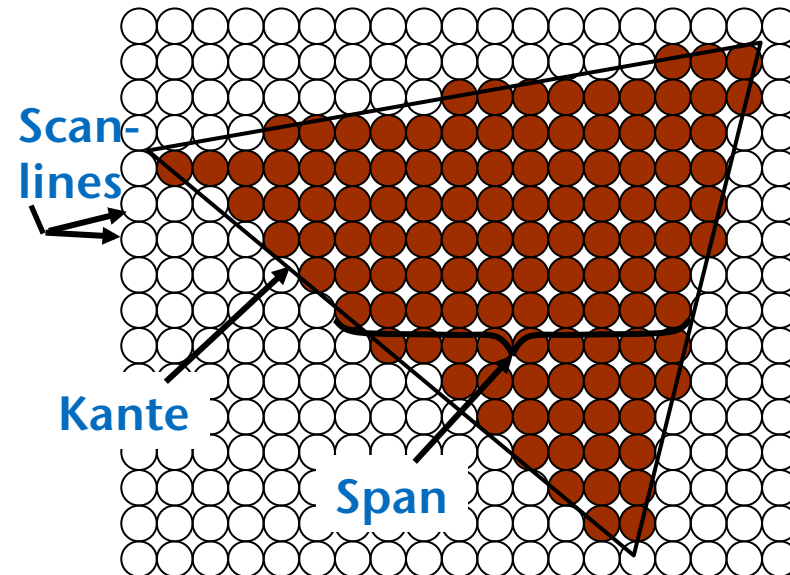


- *Moving Slivers*:



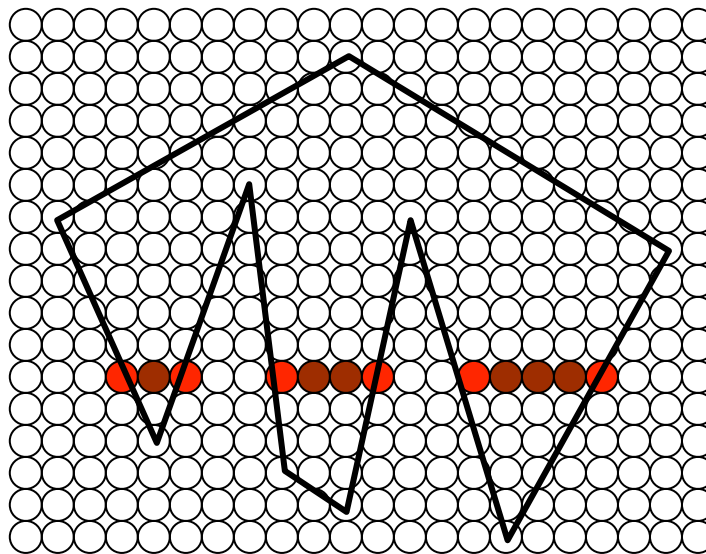
# Das allgemeine Konzept der Scan Conversion

- Gegeben: beliebiges (einfaches) Polygon
- **Span**: Folge **benachbarter** Pixel auf einer Scanline **innerhalb** des Polygons
- Hauptgedanke beim Rasterisieren:
  - Durchlaufe aufeinander folgende Scanlines
  - Berechne pro Scanline alle Spans innerhalb des Polygons
- Allg. Algorithmentechnik:
  - *Sweep-Line-Algorithmus*
  - Im Prinzip nutzt man dabei:
    - räumliche Kohärenz
    - Dimensionsreduktion



# Polygon Scan Conversion

- Annahme: gesamtes Polygon ist auf dem Bildschirm / Framebuffer
- 1. Bestimme alle Punkte auf der Scanline, welche die Kante eines Polygons schneiden
- 2. Sortiere Schnittpunkte von links nach rechts
- 3. Gruppierere Schnittpunkte in *Spans* und färbe die Pixel dazwischen

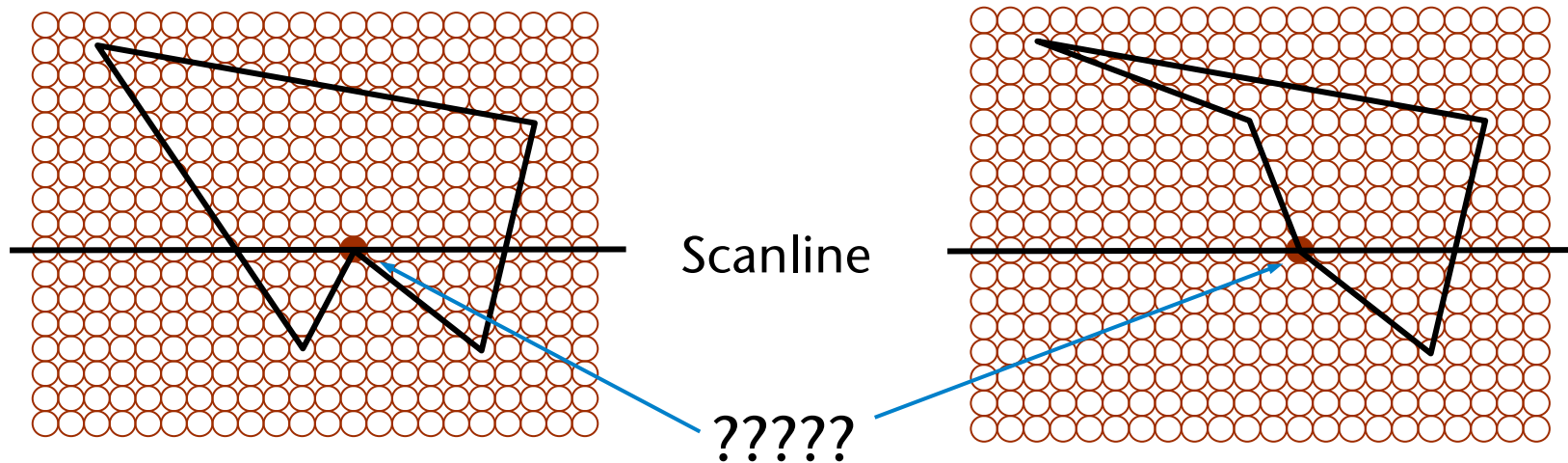


- Schnittpunkte
- Restliche Punkte des Spans



## Entscheidung "innerhalb" / "außerhalb"

- Wie werten wir Eckpunkte genau auf der Scanline?
  - M.a.W.: begrenzt solch ein Eckpunkt einen Span?

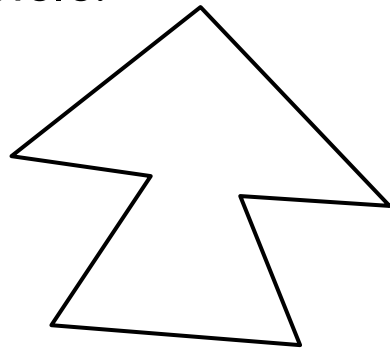


- Lösung: zähle einen Eckpunkt genau dann, wenn er das untere Ende der einen, und das obere Ende der anderen Kante ist
- Alternative: "wackle" am Eckpunkt ein wenig ("perturbation")
  - Dann bekommt man im linken Beispiel 2 oder 0 Schnittpunkte, im rechten genau 1 Schnittpunkt

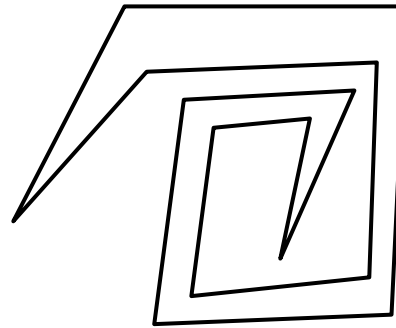


# Füllen nicht-einfacher Polygone

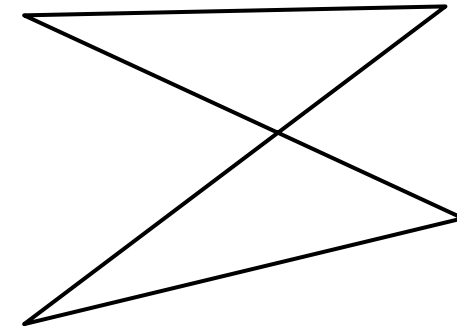
- Def.: Polygon ist **einfach**  $\leftrightarrow$  Randkurve hat keinen Schnittpunkt
- Beispiele:



einfach (& hor. konvex)



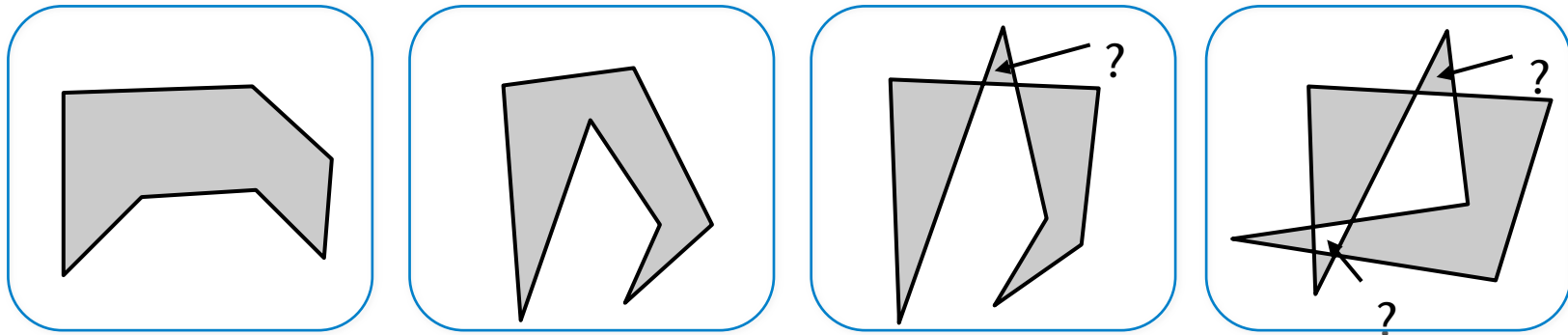
einfach



nicht einfach

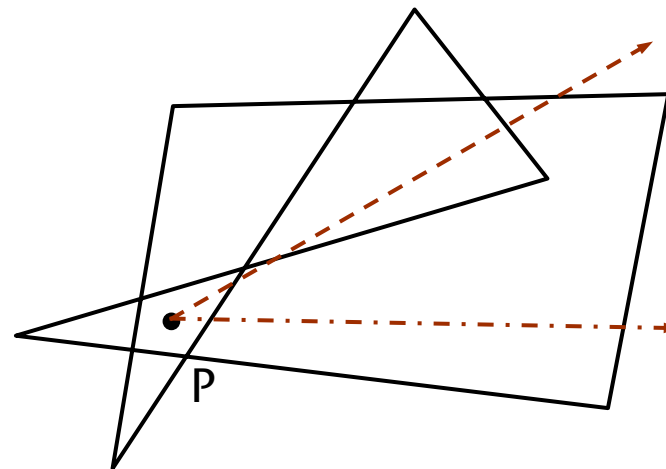
- Eigenschaften einfacher Polygone:
  - Topologisch äquivalent zu einer 2-dimensionalen Scheibe
  - Folge: es gibt ein wohldefiniertes Inneres/Äußeres
- Wie kann man auch nicht-einfache Polygone füllen?
  - Definiere für Punkte einen intuitiv „korrekten“ Inside-/Outside-Test

- Wesentliche Frage: wie definiert man "innen" und "außen"?



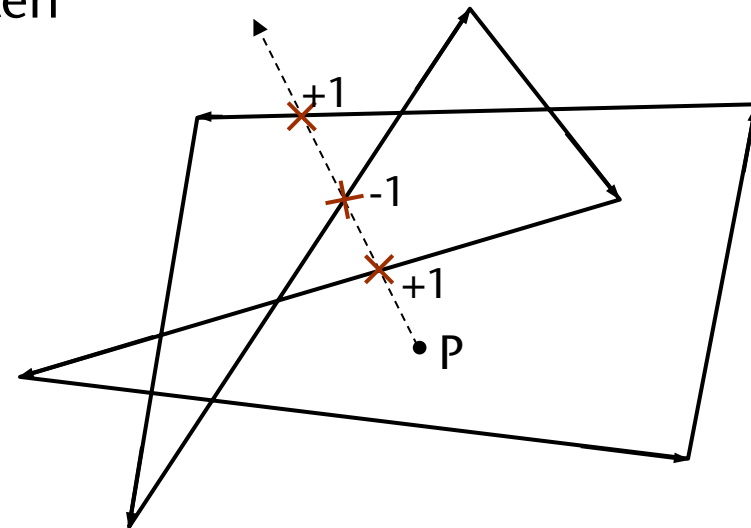
# Test 1: Odd-Even Rule

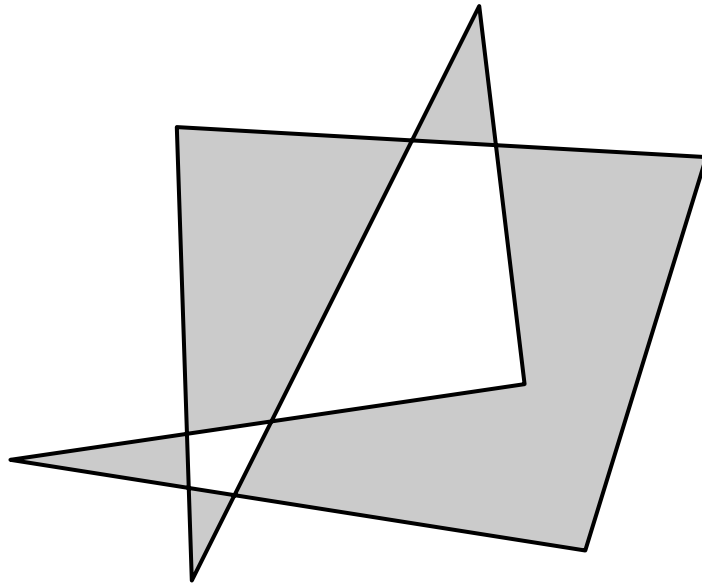
- Zeichne Strahl von Punkt P nach unendlich in irgend eine Richtung
- Zähle Anzahl Schnittpunkte mit dem Kantenzug
- Falls Anzahl ungerade  $\rightarrow$  P innerhalb
- Achtung, falls Strahl Eckpunkt genau trifft!
- Effiziente Schnittberechnung: wähle horizontalen Strahl



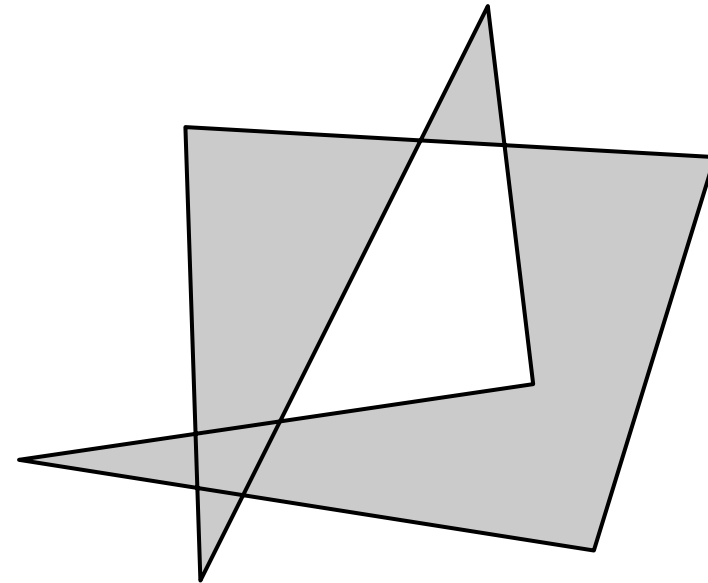
- Vorteil: funktioniert genauso mit Polyedern im 3D (und höherdim.)

- Versehe Polygon mit konsistentem Umlaufsinn
- Schneide Strahl von P aus mit Kanten
- Setze Winding-Number  $w := 0$
- Für Schnitt mit Kante „von rechts nach links“ erhöhe  $w$ ;  
sonst erniedrige  $w$
- Falls  $w \neq 0 \rightarrow P$  innerhalb
- Anmerkung: damit definiert man gleichzeitig „positiv“ bzw. „negativ“ orientierte Regionen



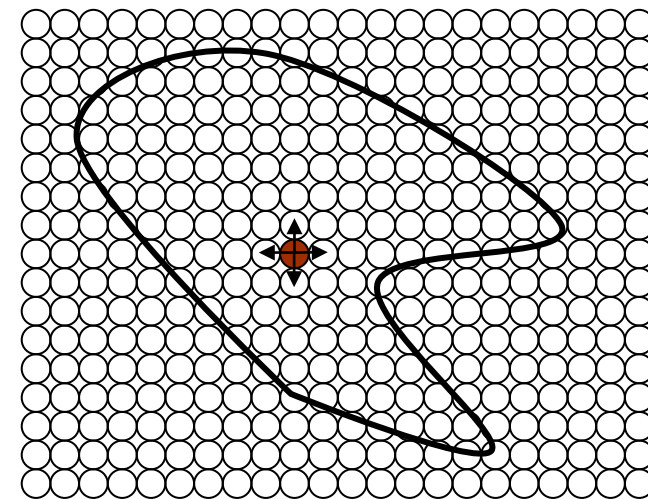
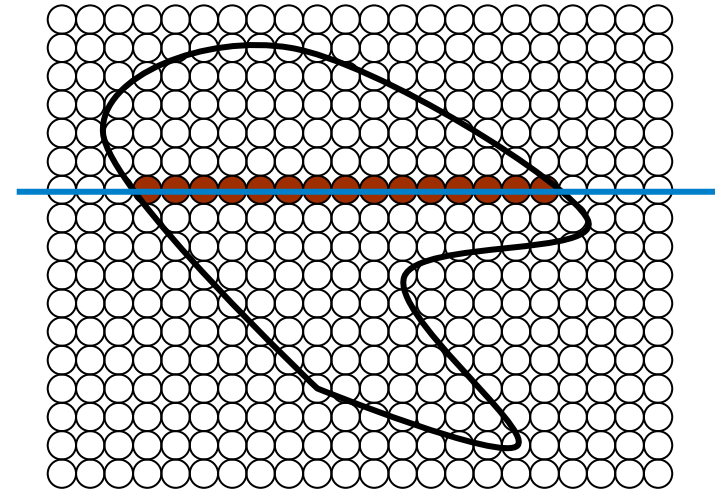


Odd-even Rule

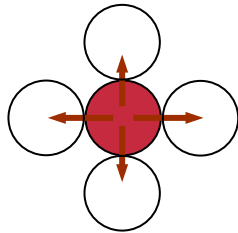


Non-zero Winding Number

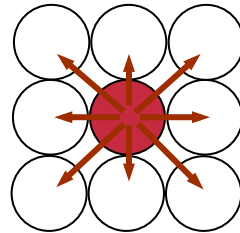
- Ähnliche Aufgabe zu Polygon-Scan-Conversion
  - Häufig in 2D-Zeichenprogrammen
- Erste Methode: wie Polygon-Scan-Conversion
- Zweite Methode:
  - **Flood Fill**: Wähle ein Pixel innerhalb des Polygons. Färbe rekursiv angrenzende Pixel bis das gesamte Polygon gefüllt ist



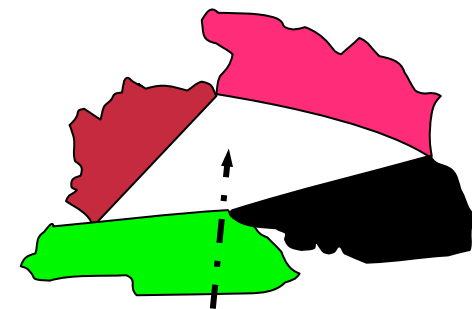
- Region ist identifiziert durch bestimmte Farbe (z.B. Weiß)
- Wähle ein Pixel innerhalb der Region
  - Region ist definiert als **zusammenhängendes** Gebiet mit **alter Farbe**
- Rekursion:
  1. Hat Pixel die alte Farbe, dann weise diesem Pixel die Füllfarbe zu
  2. Färbe rekursiv alle diejenigen Nachbarn, die noch die **alte** Farbe haben
- Alternative Begrenzung : Randkurve mit bestimmter Farbe
- Wahl der Nachbarn:



4-Verbindungen

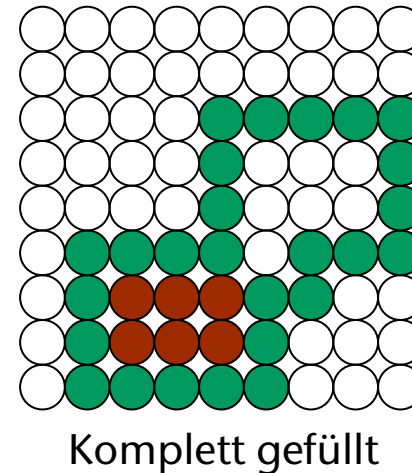
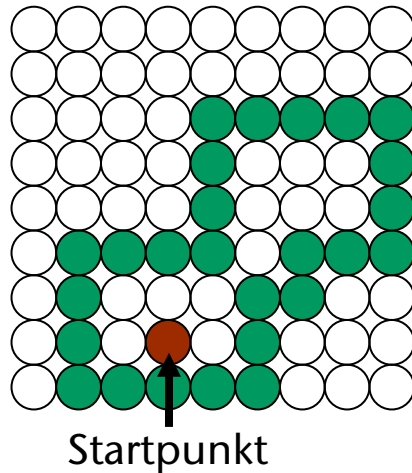


8-Verbindungen



Zu füllende Region

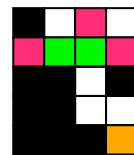
- Z.B. bei 4-Verbindungen pro Punkt:



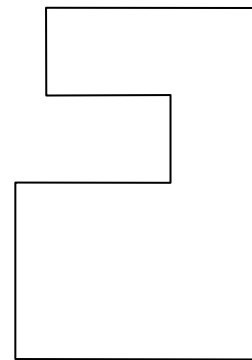
- Ein weiteres Problem: der Algorithmus hat große Rekursionstiefe
  - Kann Stack aus Spans verwenden um Rekursionstiefe zu verringern
  - Verkompliziert aber der innere "Logik" des Algo



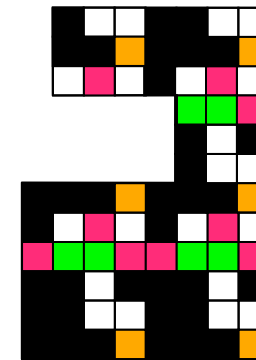
- Oft möchten wir einen Bereich mit einem Muster (z.B. gestrichelt) versehen, nicht nur eine Farbe (*stippling*)
- Definiere ein  $n \times m$  **Pixmap** (oder **Bitmap**), welche wir auf den Bereich abbilden möchten:



5x4 pixmap



Mit Muster zu  
versehendes Objekt

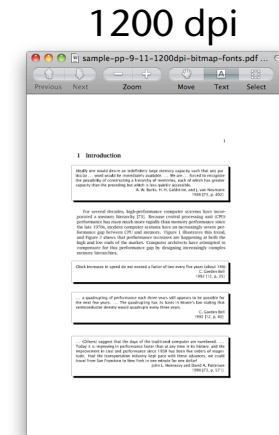
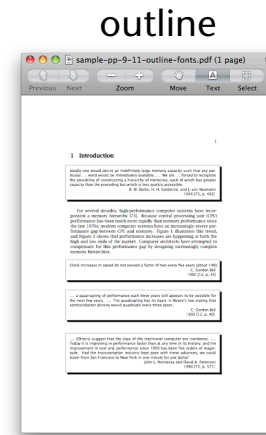
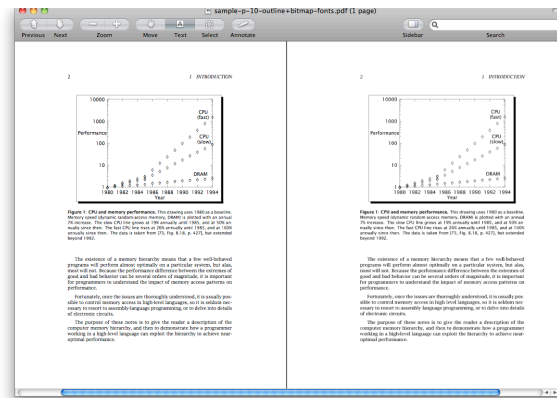
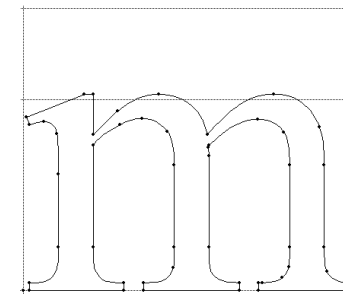


Gemustertes  
Objekt

- Für jeden Punkt  $(x,y)$  : verwende die Farbe vom Muster an der Stelle  $(x \bmod m, y \bmod n)$
- Fragen: soll das Muster relativ zum Polygon oder relativ zum Bildschirm **stationär** bleiben?

# Font-Rendering

- Rendering-Arten bzw. Font-Arten:
  - Bitmap-Font = jedes Zeichen ist eine Bitmap (oder mehrere für verschiedene Font-Größen)
  - Outline-Font = jedes Zeichen wird aus sog. Bézier- oder B-Spline-Kurven zusammengesetzt
    - Adobe Type 1 & Type 3, TrueType, OpenType



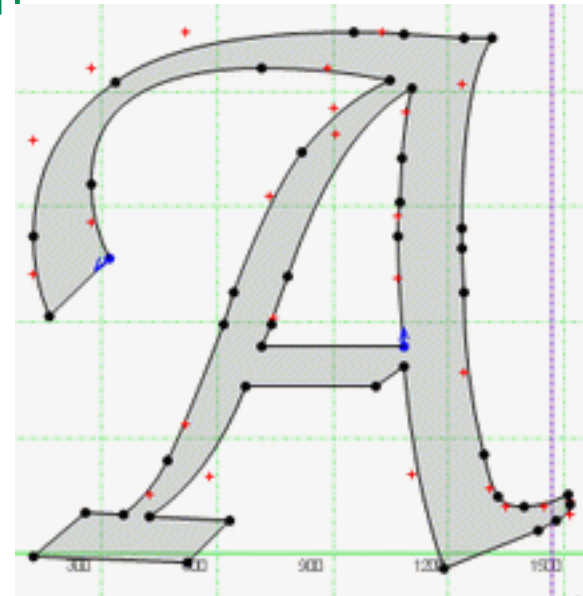
- **Glyph** = graphische Repräsentation eines oder mehrerer Zeichen



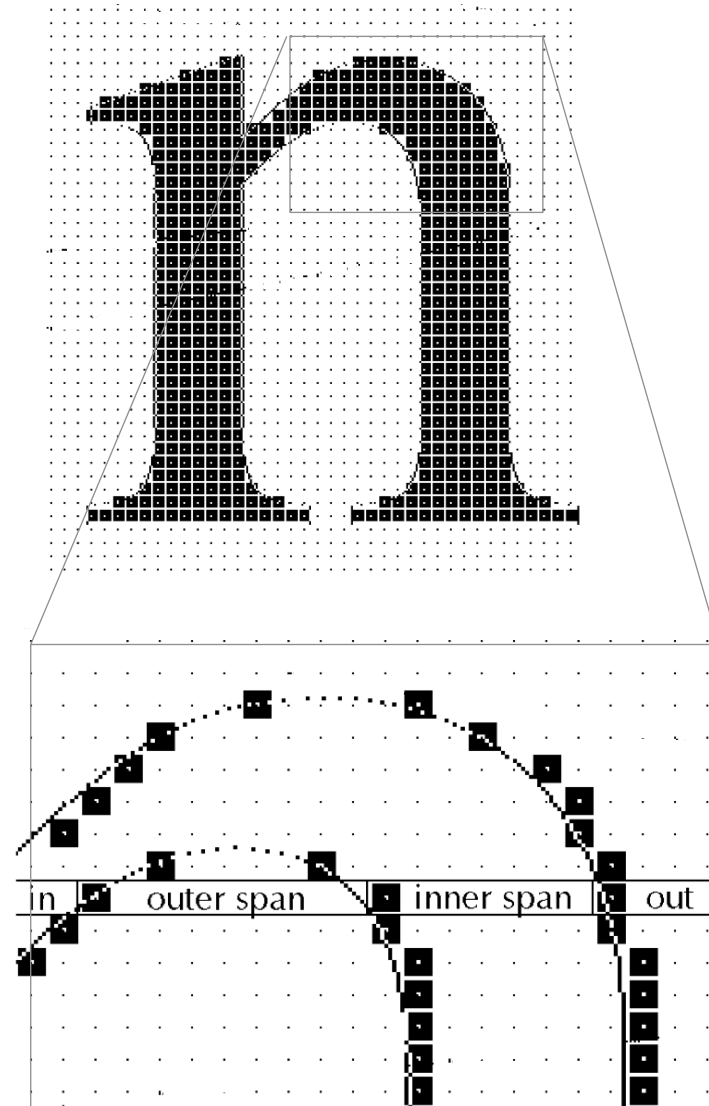
- **Typeface** = "Design" einer Menge von Zeichen
  - Z.B. Helvetica, Times Roman, Frutiger, Lucida, etc.
  - Wird von Typographen entworfen
- **Font** = Menge aller Glyphs, die in einer Sprache benötigt werden, in einem bestimmten Typeface und Stil, plus Zusatzinfos
  - **Stil** = aufrecht (roman), kursiv (italic), fett (bold), halbfett (semibold), ..
  - Zusatzinfos = Hinting, Kerning, Ligaturen, Font-Metrik, ...

# Beschreibung von Outline-Fonts

- Zeichen = Menge von geschlossenen Kurvenzügen (*Outlines*)
- Kurvenzug = Menge von **Kontrollpunkten**
- Umlaufsinn definiert innen / außen:
  - "Links von der Kurve" = innen  
(oder umgekehrt ...)
- Achtung: Kurvenzüge müssen überschneidungsfrei sein!
- Vorteil: beliebige Skalierung ist ohne Verlust (im Prinzip) möglich → skaliere einfach die Koordinaten der Kontrollpunkte



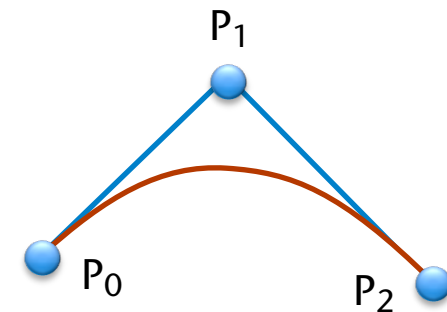
- Annahme zunächst:
  - Die einzelnen Pixel sind sehr klein im Vergleich zu dem Zeichen
  - Innerhalb eines Pixels kann man die Kontour durch eine Gerade approx.
  - Die Überdeckung des Pixels  $> 50\%$   $\Leftrightarrow$  Pixelmittelpunkt liegt "innen"
  
- Idee des Algorithmus:
  - Zerlege die Scan-Lines in der BBox des Zeichens in innere und äußere Spans
  - Berechne die Start-Pixel jedes Spans aus den Konturen  $\rightarrow$  **Flags**
  - Fülle die inneren Spans



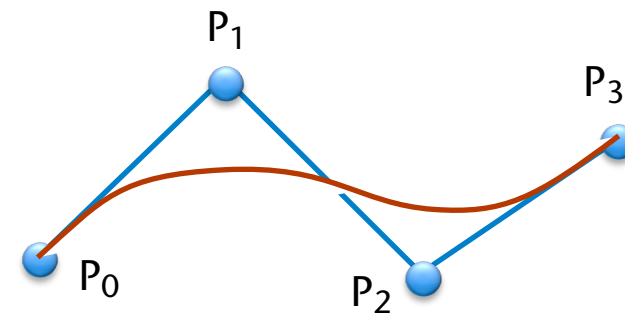
- Outlines setzen sich zusammen aus quadratischen und kubischen Bézier-Kurven
- Quadratische Bézier-Kurven:

- Definiert durch ein Kontroll-Polygon aus 3 Punkten
- Polynom 2-ten Grades:

$$P(t) = (1 - t)^2 P_0 + 2(1 - t)t P_1 + t^2 P_2$$

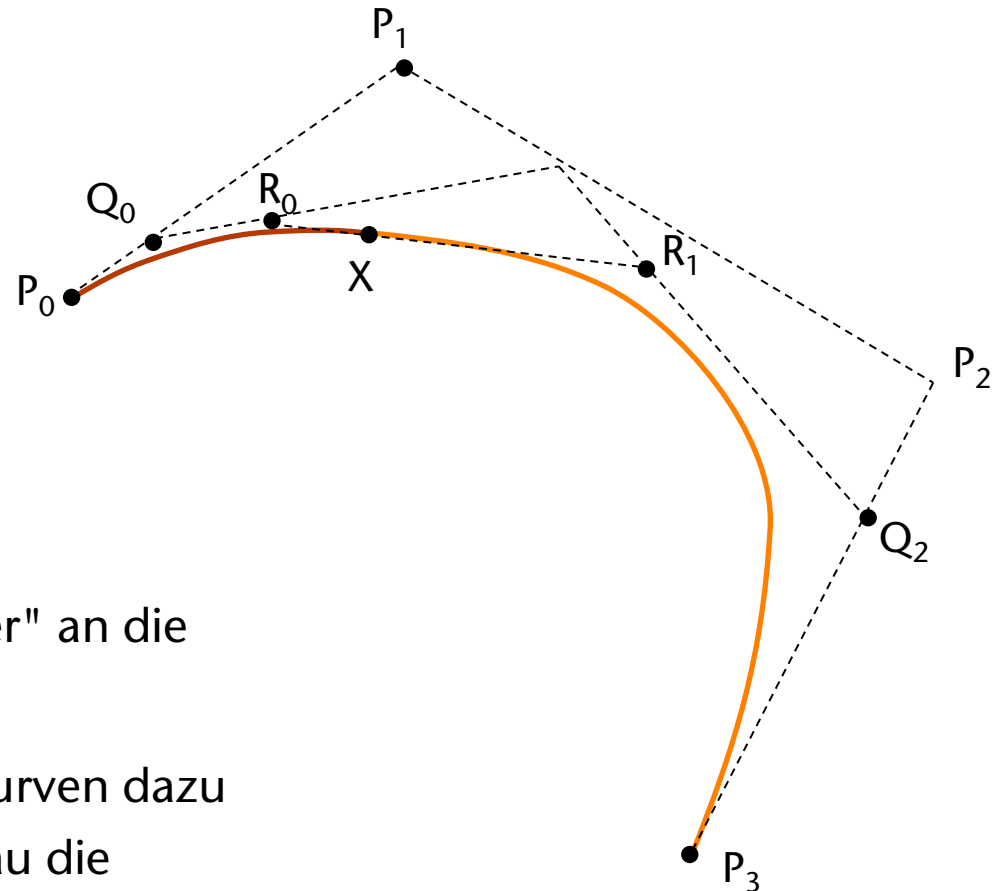


- Kubische Bézier-Kurven:
- Kontroll-Polygon hat 4 Punkte
- Polynom ist vom Grad 3:

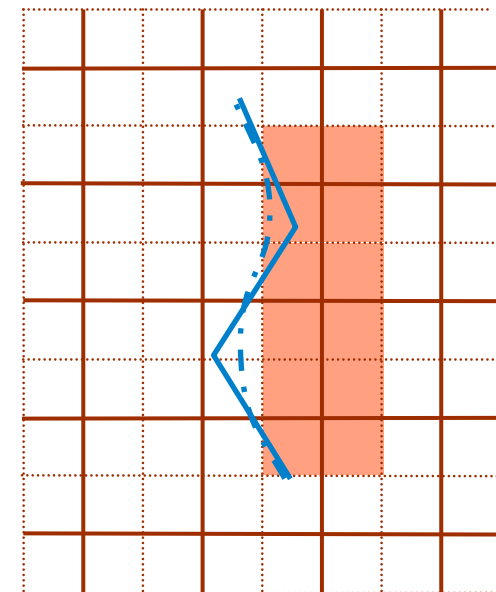
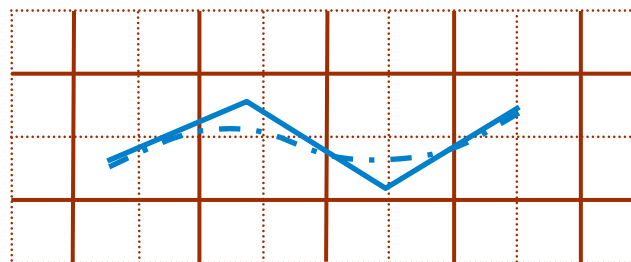
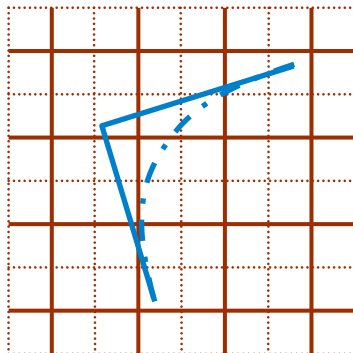


$$P(t) = (1 - t)^3 P_0 + 3(1 - t)^2 t P_1 + 3(1 - t)t^2 P_2 + t^3 P_3, \quad t \in [0, 1]$$

- Approximation durch rekursive Subdivision:
  - Aus  $P_0, \dots, P_3$  kann man **zwei neue Kontroll-Polygone**  $P_0, Q_0, R_0, X$  und  $X, R_1, Q_2, P_3$  konstruieren
  - Schmiegen sich "dichter" an die ursprüngliche Kurve
  - Die kubischen Bézier-Kurven dazu bilden zusammen genau die ursprüngliche Kurve



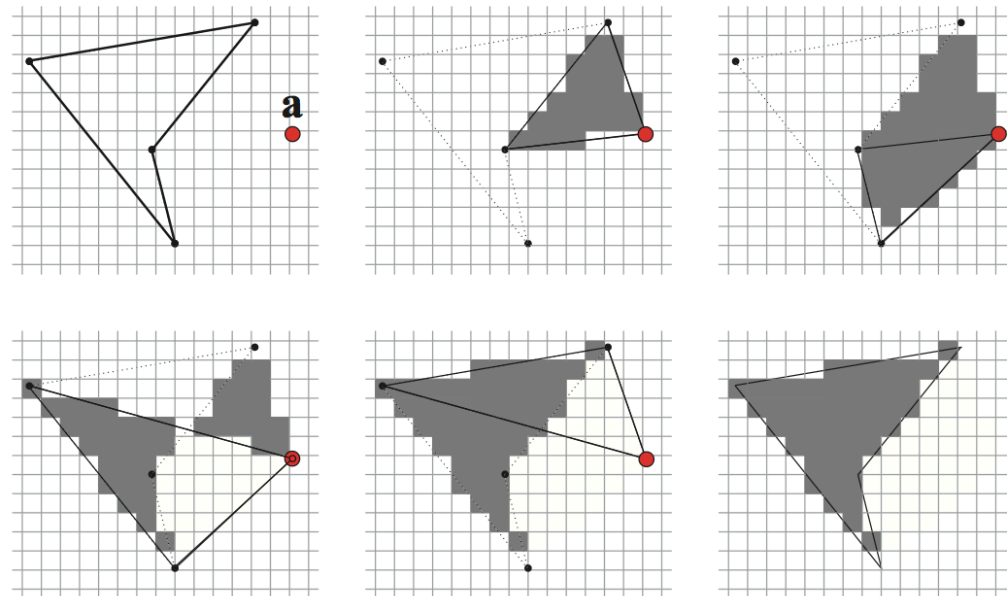
- Betrachte einzeln jede Bézier-Kurve nacheinander, d.h., betrachte deren Kontroll-Polygon
- Fallunterscheidung:
  1. Kontroll-Polygon schneidet keine (horizontale) Scanline → verwerfen
  2. Kontroll-Polygon schneidet eine oder mehrere Scanlines, und schneidet keine vertikale Gitterlinie → Flags (Pixel) rechts der Schnittpunkte setzen
  3. Sonst (Kontroll-Polygon schneidet horizontale und vertikale Gitterlinien) → 1x Subdivision machen und diese rekursiv behandeln



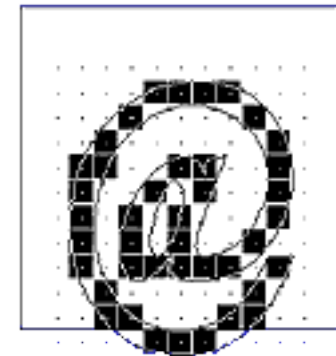
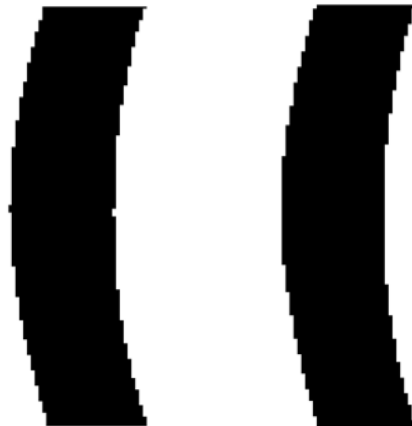
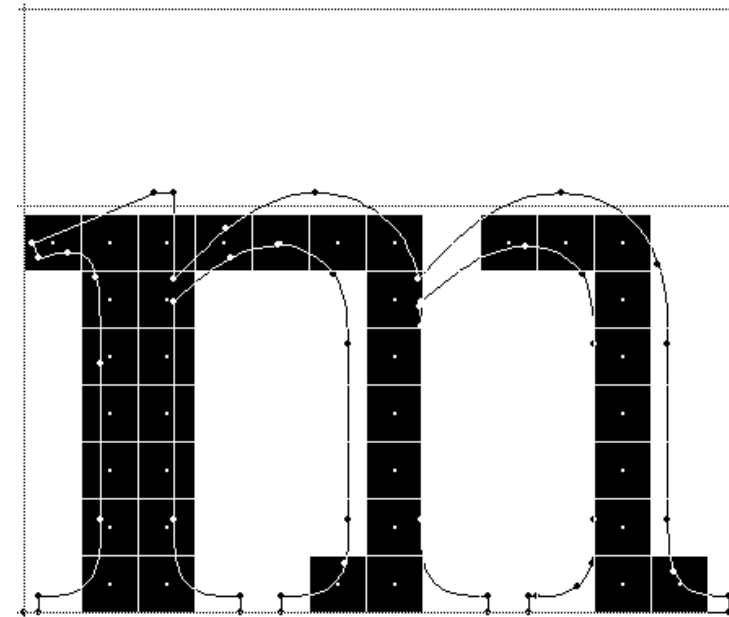


- Gegeben ein geschlossener, überschneidungsfreier Polygonzug, oder mehrere, die eine Region in der Ebene definieren
- Wähle einen beliebigen **Anker-Punkt A**
- Betrachte alle Kanten PQ der Reihe nach:
  - Invertiere alle Pixel im Dreieck  $\Delta APQ$

■ Beispiel:

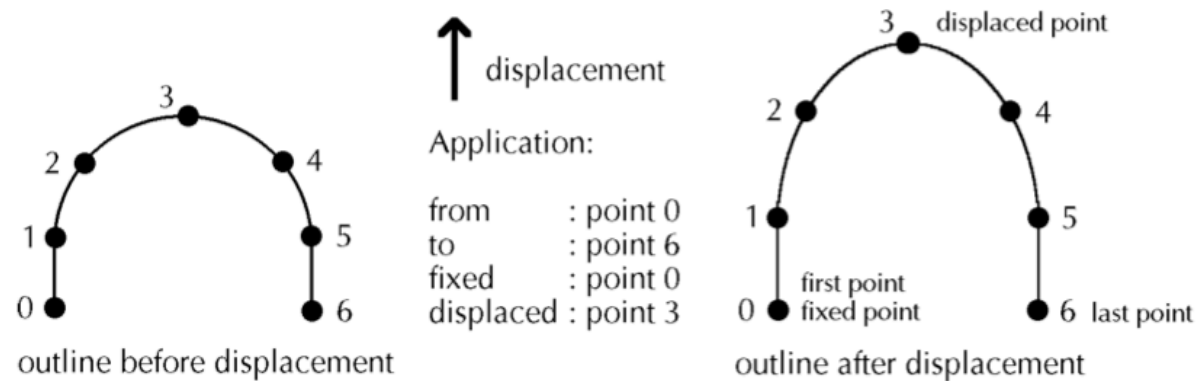


- Bei kleinen Font-Größen können, je nach "Phase", folgende Probleme auftreten:
  - Drop-outs
  - Ungleiche Dicke der Stämme
  - Serifen in verschiedene Richtung
- **Phase** = Abstand zwischen linkem Rand der BBox und vertikale Gitterlinie links davon

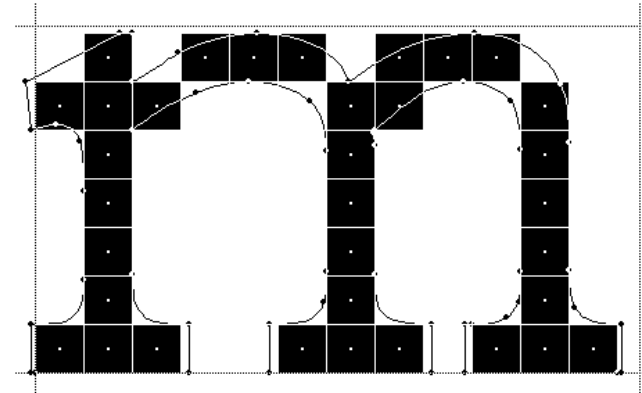
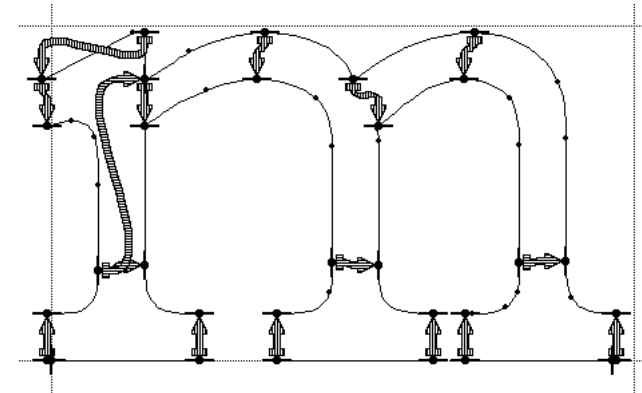


# Hinting (grid fitting)

- Lösung: der Rasterizer verzerrt die Konturkurven ein klein wenig und passt sie dem Gitter an, durch Verschieben einzelner Kontrollpunkte
- **Hinting** = Regeln, die besagen ...
  - welche Punkte verschoben werden dürfen;
  - welche Punkte proportional mit verschoben werden müssen;

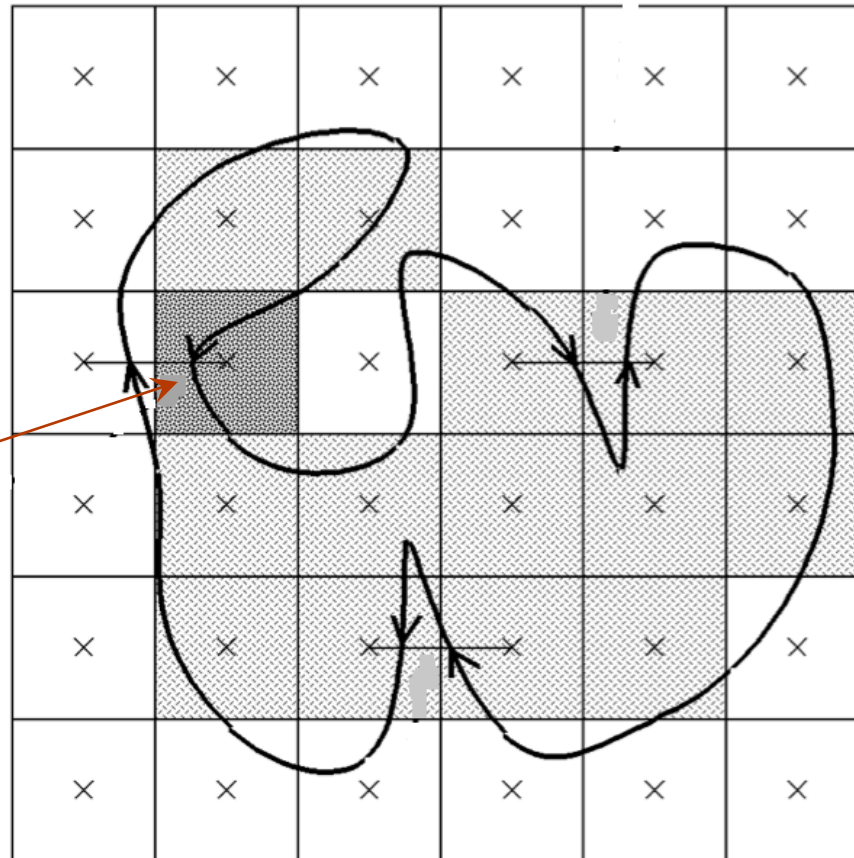


- Hinting (Fortsetzung):
  - welche anderen Punkte dann mitverschoben werden müssen (**Constraints**)
  - Muß vom Font-Designer gemacht werden
  
- NB: Diese Art Hinting wird nur bei TrueType-Fonts gemacht
  - Völlig anders bei Type1 ...

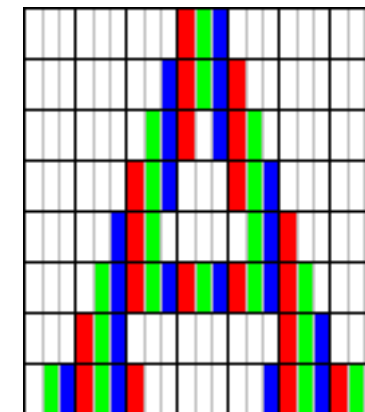
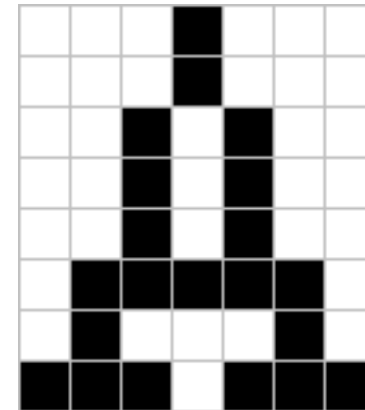
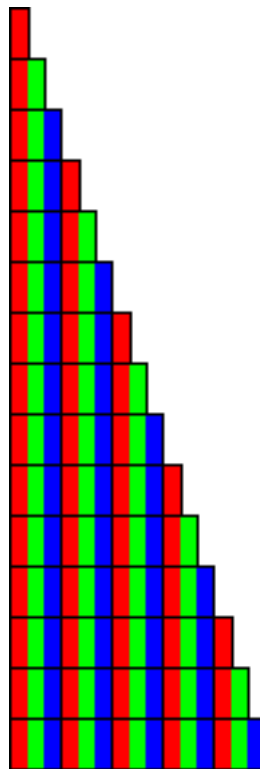
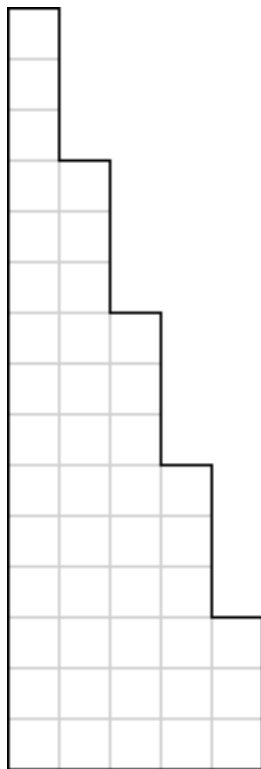


- Dropout-Kontrolle:

Dropout-Pixel wird nachträglich eingefügt, nachdem ein leerer Span detektiert wird



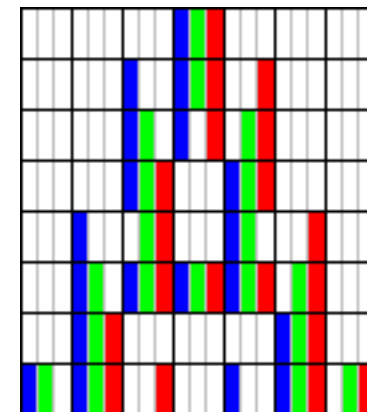
- Die Idee: betrachte jedes "Primär-Pixel" (R, G, und B) als eigenständiges Pixel:



- Anwendung beim Font-Rendering: skaliere einfach ein Zeichen horizontal um den Faktor 3 bevor rasterisiert wird

- Einschränkungen:

- Die Software muß den Monitor-Typ kennen (RGB-, oder BGR-, oder Delta-Anordnung)
- Bringt nichts für hochkant gestellte Monitore (gerade bei Text ist die horizontale Auflösung viel wichtiger)
- *Color fringing*
- Patentierte von Micro\$oft



- Bessere Alternative (?):
  - Fasse Rot- und Blau-Pixel von benachbarten Tripeln zu einem Primär-Pixel zusammen
  - Verwende nur Grün- und Rot/Blau-Pixel (= nur doppelte Auflösung)
  - Skalieren Fonts vor dem rasterisieren um Faktor 2
  - Modelliere die menschliche Farbwahrnehmung und korrigiere die Color Fringes entsprechend





